

**20038**

ANKARA ÜNİVERSİTESİ  
SAĞLIK BİLİMLERİ ENSTİTÜSÜ

**KRANİOFASİAL (Hipodiverjan) YAPI İLE  
DENTOALVEOLER YAPI ARASINDAKİ İLİŞKİLERİN  
ARAŞTIRILMASI**

**Dt. Meliha RÜBENDÜZ**

**DOKTORA TEZİ**

**ORTODONTİ ANABİLİM DALI**

**DANIŞMAN  
Doç. Dr. Ayşegül KÖKLÜ**

**ANKARA — 1991**

---

87300019 kod no'lu bu tez A.Ü. Araştırma Fonu tarafından desteklenmiştir.

## İÇİNDEKİLER

SAYFA NO

GİRİŞ VE AMAÇ.....	1
GENEL BİLGİLER.....	3
MATERIAL VE METOT.....	7
BULGULAR.....	26
TARTIŞMA.....	54
SONUÇLAR.....	71
ÖZET.....	73
SUMMARY.....	74
KAYNAKLAR .....	75

## G İ R İ Ş V E A M A Ç

Yüzün dik yön boyutlarının azalmış olduğu derin overbite ile karakterize vakaların tedavisinde kapanışın yükseltilmesi ve nüksün önlenmesi ortodontistin ilk üzerinde durdu ğu konulardır (5,14,18,40,43,47,53,56,73,55).

Bu problemlere yönelik olarak Angle sınıflamasına göre Klas II, div.2 maloklüzyon gurubuna giren vakalarda kraniofasial yapının ve dentoalveoler bölgenin Özellikleri bir çok araştırmacı tarafından incelenmiştir (1,2,3,20,35,37,45,54,69 71 75).

Örtülü kapanış vakalarının normal oklüzyona sahip bireylerden oluşan kontrol grupları ile veya bu maloklüzyonun karşıtı olarak değerlendirilecek openbiteli bireylerden oluşan kontrol grupları ile karşılaştırarak kraniofasial yanının özelliklerini ortaya koymaya çalışan bir çok araştırmacı yanısıra ba ğzi araştırmılarda konuyu dik yön boyutlarının düşük olduğu hypodiverjan kraniofasial yapıya sahip bireyleri yüzün dik yön boyutlarının normal sınırlar içinde olduğu bireylerle veya hyperdiverjan kraniofasial yapıya sahip bireylerle karşılaştırarak incelemiştir.

Bütün bu araştırmalarda olduğu gibi hypodiverjan kraniofasial yapı ile dentoalveoler yapı arasındaki ilişkilerin araştırılması konulu çalışmamızda da amacımız derin overbite gösteren hypodiverjan iskelet yapıya sahip vakalarda gerek kraniofasial bölgede gerekse dentoalveoler bölgede hatanın nere-

den kaynaklandığını bulmaya yöneliktir.

Ancak alt ve üst dental arkaların ilişkisinin, overbite ve overjet'in normal olduğu bireylerde de hypodiverjant bir kraniofasial yapının mevcut olabileceği düşünülürse hypodiverjant kraniofasial yapıya sahip oldukları halde bu bireylerde oklüz yönün hangi mekanizmalarla normal kalabildiği sorusu akla gelir.

Bu nedenle çalışmamızda hypodiverjant kraniofasial yapıya sahip oldukları halde normal oklüzyonlu ve artmış overbite ile birlikte maloklüzyonlu bireylerde kraniofasial ve dentoalveoler bölgelerin özelliklerini karşılaştırarak deepbite'ın nedenlerinin araştırılması amaçlanmıştır.

## G E N E L   B İ L G İ L E R

Çeşitli kraniofasial yapıların belirlenmesinde mandibular rotasyonun oldukça etkili bir faktör olduğu bilinmektedir. Bu rotasyonun merkezi kondillerde veya dentoalveoler bölgede olabilir. Ön ve arka yüz bölgelerinin vertikal büyümeye miktar ve zamanları dengeli olmadığından kafa ile bağlantısı temporamandibular eklem aracılığı ile olan mandibula eklem yerinden rotasyona uğramaktadır (8,10,51).

Kondiler büyümeye, fasial sutura ve posterior alveoler bölgelerdeki vertikal büyümeyi aşarsa mandibulanın anterior rotasyonu ile yüz yüksekliği de değişecek ve iskelet hypodiverjan olarak adlandırılan bir yapı kazanacaktır.

Mandibular anterior rotasyon mandibulanın alt kenarında meydana gelen remodeling olayları ile gölgelensede bu remodeling olaylarının miktarının yaklaşık olarak rotasyonun yarısı kadar olduğu bildirilmiştir(32,10,51,63). Mandibula ile uyum sağlamak zorunda olan maksilla için de bu remodeling olayları söz konusu dur. Hypodiverjan kraniofasial yapıda remodeling ile birlikte dentoalveoler kompenzasyon mekanizmasında çalışabilmektedir (9).

Bu kompenzasyon dişlerin erüpsiyon gösterme kabiliyeti ve çevre yumuşak dokuların etkisine büyük ölçüde bağlıdır. Örneğin fasial kompleks içindeki maksiller molarların aşağı doğru

ru hareketlerinin ve mandibular anterior bölge yüksekliğinin overbite miktarının ayarlanmasıında önemli faktörlerden biri olduğu ileri sürülmektedir. Ancak çok çeşitli faktörlerin etkisi altındaki dentoalveolar bölgede meydana gelen değişiklikler kompanse edici şekilde olabildiği gibi anomaliyi şiddetlendirici şekilde de meydana çıkabilemektedir (16, 19, 21, 41, 66, 67).

Bu kompanse edici ve şiddetlendirici olayların kranio-fasial iskeletin çeşitli bölgeleri arasında da gerçekleşmesi söz konusu olabilir. Bu kraniofasial yapının çeşitli bölümlelerinin, boyutlarının veya eğimlerinin birbirlerine göre değişim tarzındadır. Şayet birbiri ile ilişkili bölümleri karşılıklı etkileşimi resiprokal ise karmaşık anatomik sonuçlar oluşabılır. Etkileşim snerjik ise bu avantaj olabildiği gibi dezavantaj da olabilmektedir.

Yüzün dik yön boyutlarının düşük olduğu hypodiverjan iskelet yapıda ve deepbite vakalarında heredite oldukça önemli bir faktördür. Bir çok araştırmacı bu tür vakalarda hereditenin rolünü incelemişler ve önemini vurgulamışlardır (58, 60, 61, 77).

Yüzün yapısı genetik faktörlerin yanı sıra kas bağları, muskuler basing ve postürden de etkilenmektedir (54, 41, 76). Derin kapanışlı bireylerde vertikal çene kaslarının oldukça hyperaktif ve hypertonik oldukları ileri sürülmektedir. Özellikle kapayıcı kasların kontraksiyon kuvvetleri gerek

kronicasial gerekse dentoalveoler bölgede etkili olup overbite 'in oluşmasına neden oldukları ileri sürülmektedir (75,4, 26). Özellikle molar dişler ve posterior alveoler bölge mandibula ile vertikal olarak bağlantılı massater, internal pterygoit ve temporal kasların etkisi altındadır.

Vertikal kas zinciri anterior pozisyonda ve güçlü olduğunda dental arkalar üzerinde büyük bir depresiv kuvvet yaratmaktadır ve dental arkaların bu kuvvetli mandibularar kapanmaya karşı gösterdikleri direnç az olduğunda mandibulanın kapanma yönünde rotasyona uğraması kolay olacaktır. yine bu kas basının etkisi altında alveoler yükseklikler, özellikle posterior alveoler yüksekliklerin gelişimi engellenecdettir (75,36,60, 61,34).

Öte yandan bu vakalarda musculus orbicularis orislerin de hyperaktif olması ve tonusunun artmış olması ön grup dişlerin retrüzyonuna ve çaprazıklığına neden olmaktadır,

Literaturde ayrıca güçlü massater aktivitesine bağlı olarak gonial proseslerin lateral olarak düzleştiği, korpus ve ramus uzunluklarının eşdeğere yakın olduğu kronoid proseslerin geniş olduğu yine geniş bir infra temporal fossanın mevcut olduğu bildirilmiştir. Bu tür vakalarda mandibuler symphisis vertikal yönde kısa ancak anterioposterior yönde protrüzivdir. Kafatası da genel olarak yuvarlak ve birakhysphalik, burun kökü çöküktür. Bu tür vakalarda fossartikularis'in derin, tüberkülöm artikülerin yüksek olduğu ve bu nedenle farklı olan

kondil yolu eğimi, kondil pozisyonu ve yapısının derin kapanı şının oluşmasında rol oynadığı da ileri sürülmektedir (79, 25, 78, 34, 15).



## M A T E R Y A L   V E   M E T O T

Araştırmamızda hypodiverjan bir kronio fasial yapıya sahip fakat normal overbite, overjet ilişkisi gösteren 60 normal oklüzyonlu birey ile yine hypodiverjan bir kroniofasial yapıya sahip ancak bu kez dişsel olarakta artmış overbite ile birlikte maloklüzyonlu 60 birey üzerinde yürütülmüştür.

Materyalimizi bu bireylere ait 120 adet lateral sefalometrik film ile 120 adet el bilek radyografisi oluşturmuştur.

Hypodiverjan kraniofasial yapılı ve normal oklüzyonlu bireylerin 18'i erkek, 42 si kız yine hypodiverjan krano fasial yapılı ve malklüzyonlu bireylerin 18'i erkek 42 si kız olup gruplarda cinsiyet dağılımı benzerdir. Ancak çalışmamızda cinsiyet faktörü göz önüne alınmamıştır.

Mal oklüzyon grubu A.Ü.Diş.Hek.Fakültesi Ortodonti Anabilim Dalı arşivinden aşağıdaki koşullara uyularak seçilmiştir:

- Bireyin daha önce ortodontik bir tedavi görmemiş olması,
- Gö Gn SN aşısının 32 veya daha küçük olması,
- Overbite 'in 3 mm den büyük olması
- Eksik dişlerin bulunmaması.

Bu koşullara uygun 60 maloklüzyonlu bireyin daha sonra el bilek grafileri değerlendirilmiş ve Björk'ün kriterleri ne göre iskeletsel olgunluk dönemleri saptanmıştır. Bu kriterler sıralanacak olursa:

$PP_2$ : İkinci parmağın proksimal falanks epifiz boyutu diafiz boyutuna eşit hale gelmiştir. Birey maksimum pubertal gelişim atılımını öncesindedir.

$MP_3$  : Üçüncü parmağın epifiz-diafiz boyutları eşit hale gelmiştir. Birey maksimum pubertal gelişim atılımının hemen öncesindedir.

$S$  : Ulnar sesamoid kemiğin kalsifikasyonu başlamıştır. Maksimum pubertal gelişim atılımı başlamak üzeredir.

$MP_{3, cap}$ : Üçüncü parmağın medial falanks epifizi diafi zini kapsül şeklinde sarmaya başlamıştır. Birey pubertal büyümeye atılımını içerisinde veya az bir olasılıkla hemen sonrasındadır.

$DP_{3,u}$  : Üçüncü parmağın distal falanksında epifiz diafizi ile kaynaşmıştır. Maksimum pubertal büyümeye atılımını iki yıl kadar sonrasında olabilir.

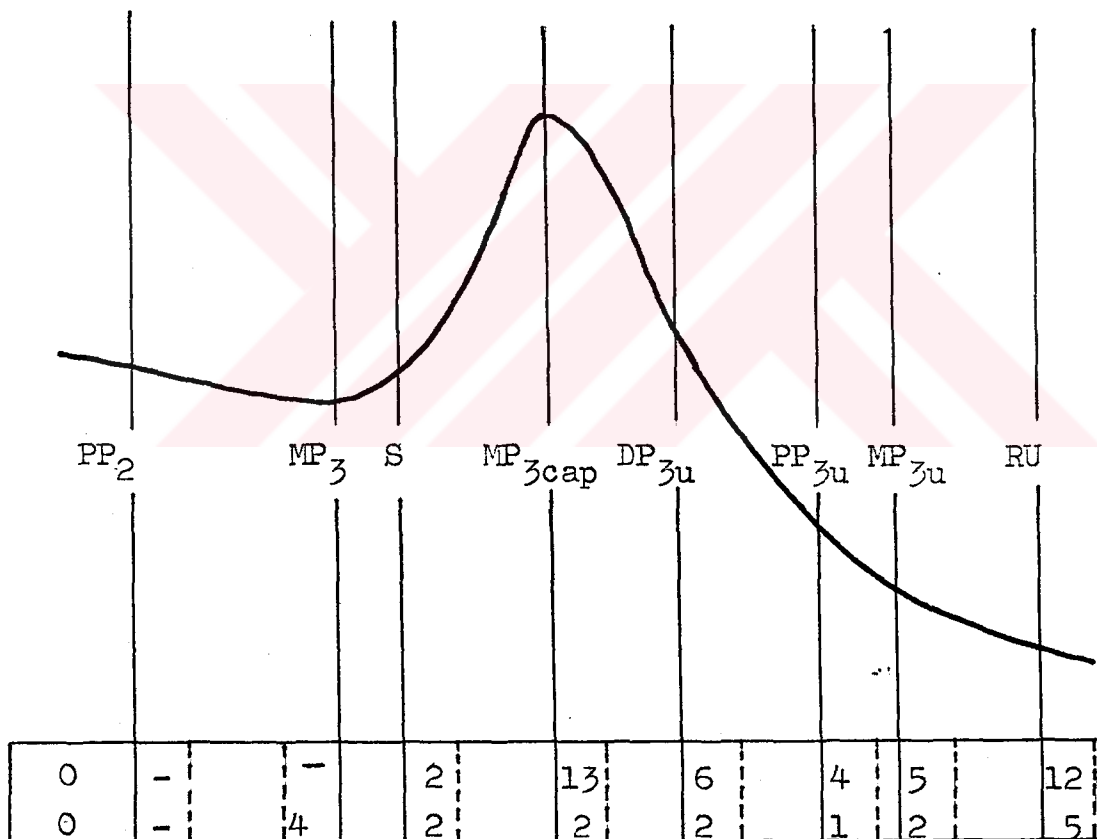
$PP_{3,u}$  : Üçüncü parmağın proksimal falanks epifizi diafizi ile kaynaşmıştır. Birey maksimum pubertal büyümeye atılımının iki yıl kadar sonrasında olabilir.

$MP_{3,u}$  : Üçüncü parmağın medial falanksının epifiz ve diafizi kaynaşmıştır. Birey artık büyümeye atılımının oldukça

sonrasındadır.

RU : Radiusun epifizi ile diafizinin kaynaşmış olduğu döndür. birey pubertal büyümeye atılımını tamamen bitirmiştir.

Bu değerlendirme sonucunda 60 maloklüzyonlu bireyin iskelet olgunluk dönemlerine göre dağılımı aşağıdaki gibidir (Şekil 3.1).



Şekil 3.1 : Maloklüzyonlu 60 Bireyin İskelet

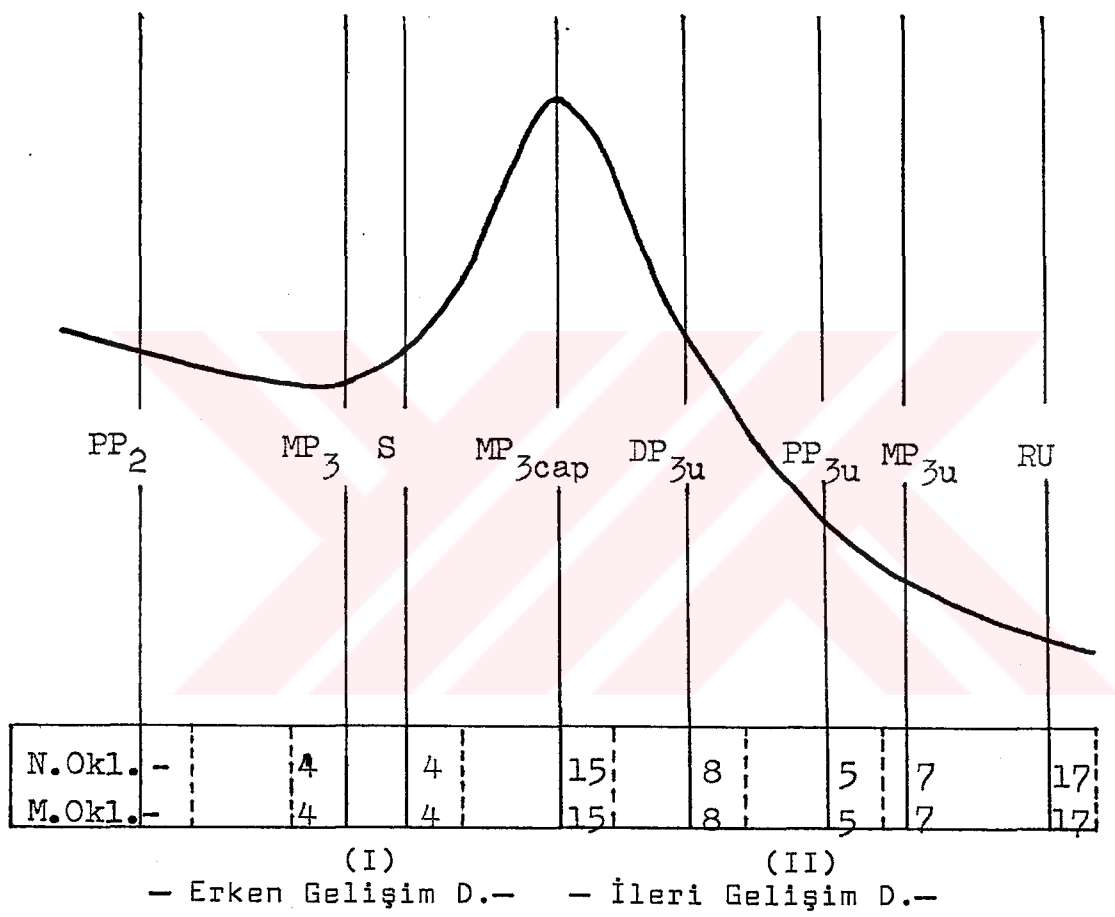
Olgunluk Dönemlerine Göre Dağılımı..

Daha sonra yine Anabilim Dalı arşivimizden:

- Tüm dışlerde ideal bir oklüzyonun bulunması,
- Diş eksikliğinin olmaması
- Daha önce ortodontik tedavi görmemiş olması,
- Toplam olarak bir yada iki mm den daha fazla çaprazlığıının bulunmaması
- Kabul edilebilir bir yüz dengesine sahip olmalarına dikkat edilerek dökümanları toplanmış 514 normal oklüzyonlu bireyin öncelikle Go Gn SN açısı 32 den küçük olup, hypodiverjan bir kraniofasial yapıya sahip olanları seçilmiştir. Seçilen hypodiverjan ve normal oklüzyonlu (N) bireylerin bu aşama dan sonra elbilek grafileri değerlendirilmiş ve iskeletsel olgunluk dönemlerine göre dağılımları saptanmıştır. Bu çalışma sonucunda normal oklüzyonlu bireyler arasından Şekil 3.2 de görüldüğü gibi maloklüzyon grubunda her iskelet olgunluk döneminde kaç birey varsa cinsiyetleride dikkate alınarak normal oklüzyon grubunda da aynı gelişim döneminde eşit sayıda ve cinsteki birey olmasına dikkat edilerek seçim yapılmış ve 60 kişilik normal oklüzyon grubu oluşturulmuştur.

Hypodiverjan yapıya sahip normal oklüzyon (N) ve maloklüzyon (M) grupları daha sonra kendi aralarında erken (I) ve ileri (II) gelişim dönemi olmak üzere tekrar gruplandırılmıştır. Bu grupta MP<sub>cap</sub> dönemi ve daha önceki iskeletsel olgunluk dönemleri erken gelişim dönemi (I), DP<sub>U</sub> ve daha

sonraki iskeletsel olgunluk dönemleri ileri gelişim (II) döneni olarak kabul edilmiştir (Şekil 3.2).



### Şekil 3.2 : Normal ve Maloklüzyonlu Bireylerin Gelişim Dağılımı.

Böylelikle çalışmamızı hypodiverjan yapıya sahip mal-  
oklüzyon ve normal oklüzyon ana gruplarının, erken ve ileri  
gelişim dönemleri olmak üzere ikişer alt gruba ayrılması ile  
dört grup üzerinde yürütülmüştür (Tablo 3.1).

Tablo 3.1 : Araştırmamızda Kullandığımız Normal ve Maloklüzyonlu Bireylerin Erken , İleri Gelişim Dönemlerindeki Sayıları.

	Normal Oklüzyon	Mal Oklüzyon	Toplam
Erken Gelişim Dönemi	23	23	46
İleri Gelişim Dönemi	37	37	74
Toplam	60	60	120

Anabilim dalı arşivimizden aldığımız bütün sefalometrik filmler için kaynağı film uzaklığı ortalama 150 cm kaset-MSP arası 12.5 cm olarak elde edilmiştir.

#### Sefalometrik Analiz Yöntemi :

Araştırmamızda kullanılan sefalometrik nokta ve iskeletsel referans düzlemleri şunlardır (Şekil 3.3);

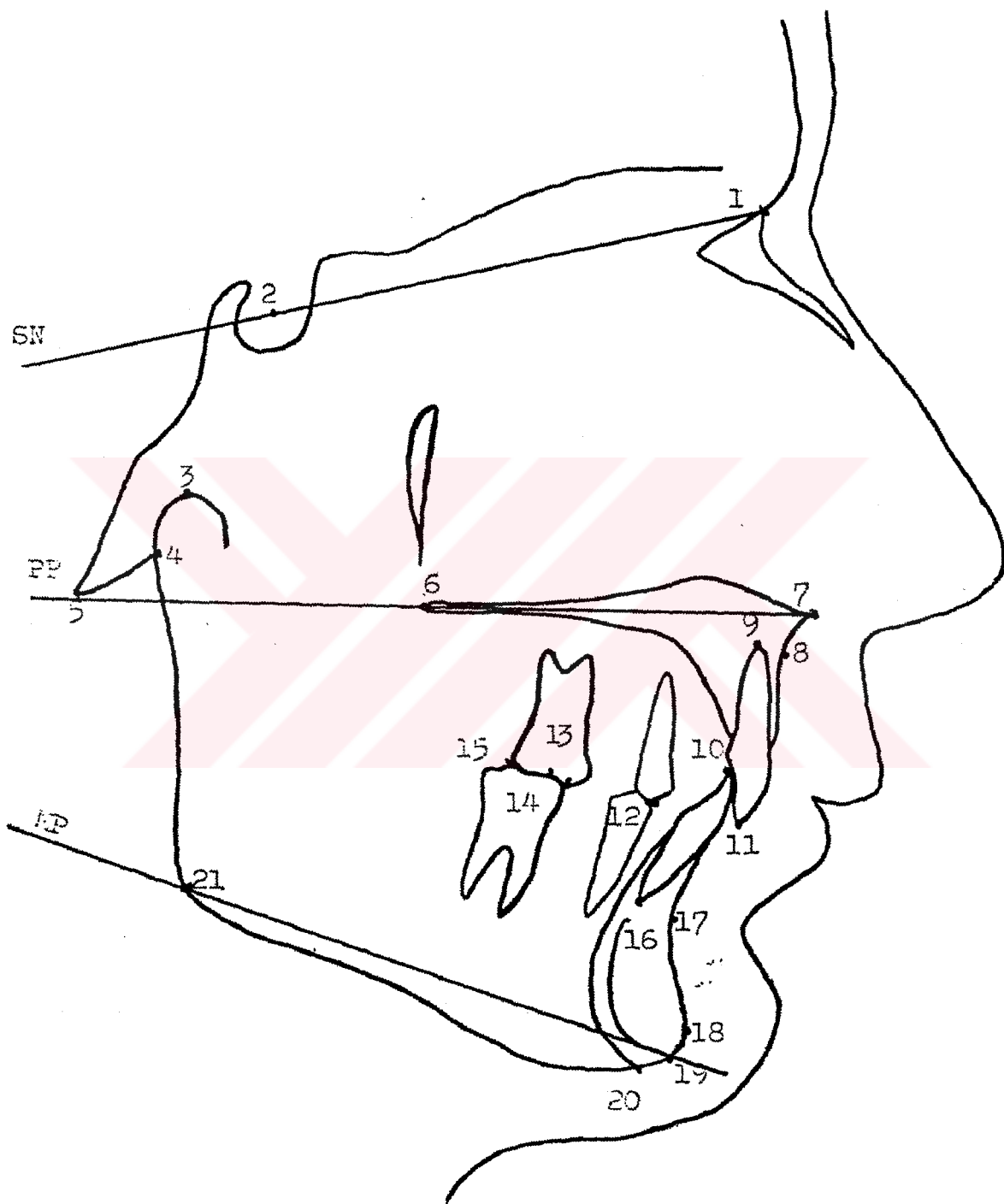
#### Noktalar :

1. Nokta "N" : Nasion
2. Nokta "S" : Sella
3. Nokta "Co" : Condylion
4. Nokta "Ar" : Articulare
5. Nokta "Ba" : Basion
6. Nokta "PNS" : Posterior Nasal Spina

7. Nokta "ANS" : Anterior Nazal Spina
8. Nokta "A" : Subspinale
9. Nokta "UIA" : Üst Keser Apeksi
10. Nokta "LIE" : Alt Kesici Kenar
11. Nokta "UIE" : Üst Kesici Kenar
12. Nokta "MCP" : 1. Premolarların Mezial Kontaktı
13. Nokta "UMT" : Üst 1. Moların Mezial Tüberkül  
Tepesi
14. Nokta "LMT" : Alt 1. Moların Mezial Tüberkül  
Tepesi
15. Nokta "DCP" : 1. Molarların En Distaldeki Kon-  
taktı
16. Nokta "LIA" : Alt Keser Apeksi
17. Nokta "B" : Supramentale
18. Nokta "Pg" : Pogonion
19. Nokta "Gn" : Gnathion
20. Nokta "Me" : Menton
21. Nokta "Go" : Gonion

#### İskeletsel Referans Düzlemleri :

- Sella - Nasion Referans Düzlemi (SN) : Sella ve na-  
sion noktaları arasında oluşturulan düzlemdir.
- Paletal Plan (PP) : ANS ve PNS Noktaları arasında o-  
luşturulan düzlemdir.
- Mandibular Düzlem (MP) : Go ve Gn noktaları arası-  
nda oluşturulan düzlemdir.



Şekil 3.3 : Araştırmamızda Kullanılan Sefalometrik  
Nokta ve İskeletsel Referans düzlemleri.

Dentoalveoler Referans Düzlemleri (Şekil 3.4):

Fonksiyonel Okluzal Plan (FOP) : Distal molar kontakt noktası ile mezial premolar kontakt noktasını birleştiren doğru.

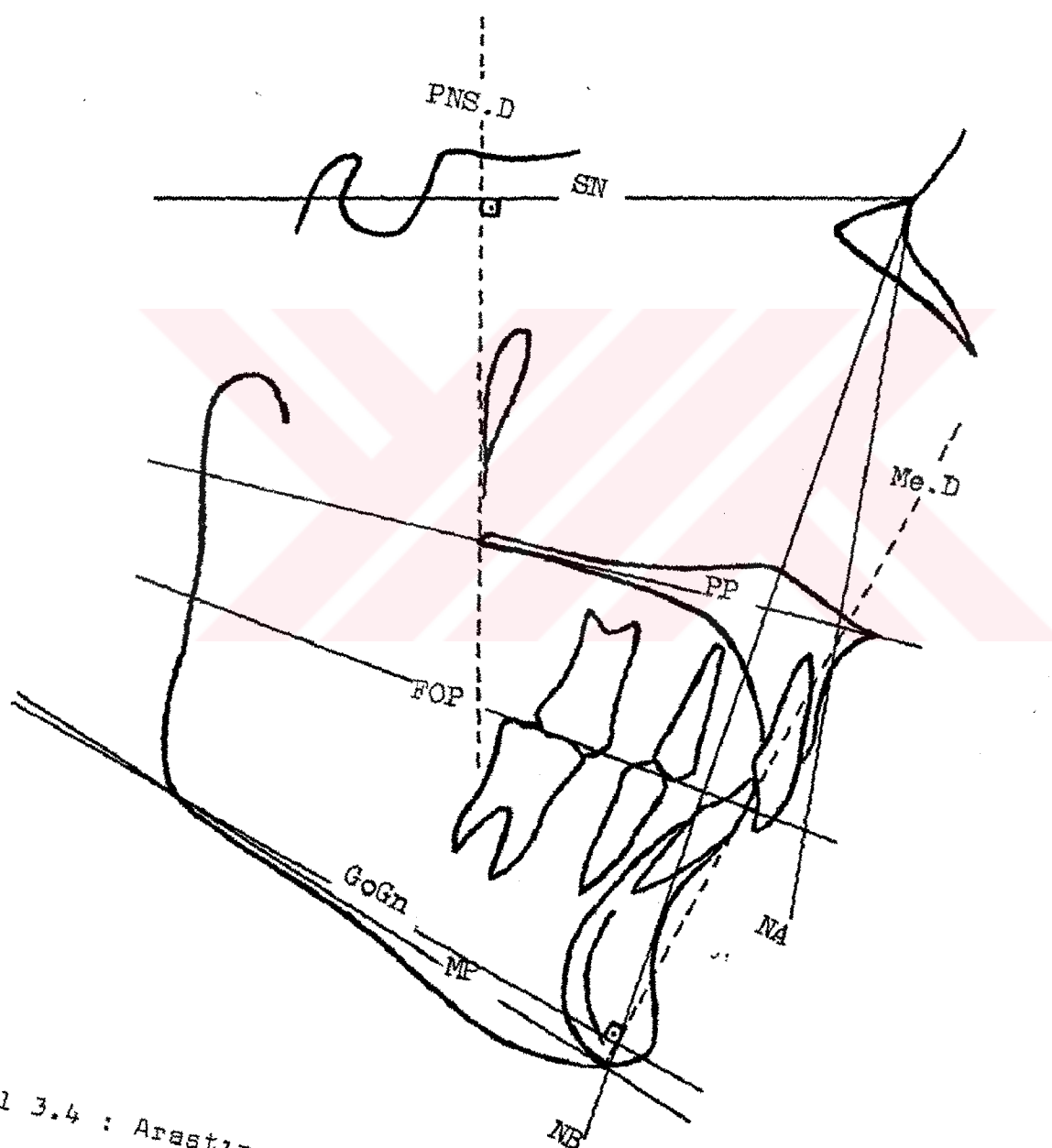
PNS Vertikal Düzlemi (PNS D) : PNS Noktasından SN'e vertikal olarak oluşturulan düzlem

Me vertikal (Me D) : Me'dan Go Gn'a vertikal olarak oluşturulan düzlem

NA Düzlemi : N ve A noktalarını birleştiren düzlem

NB Düzlemi : N ve B noktalarını birleştiren düzlem

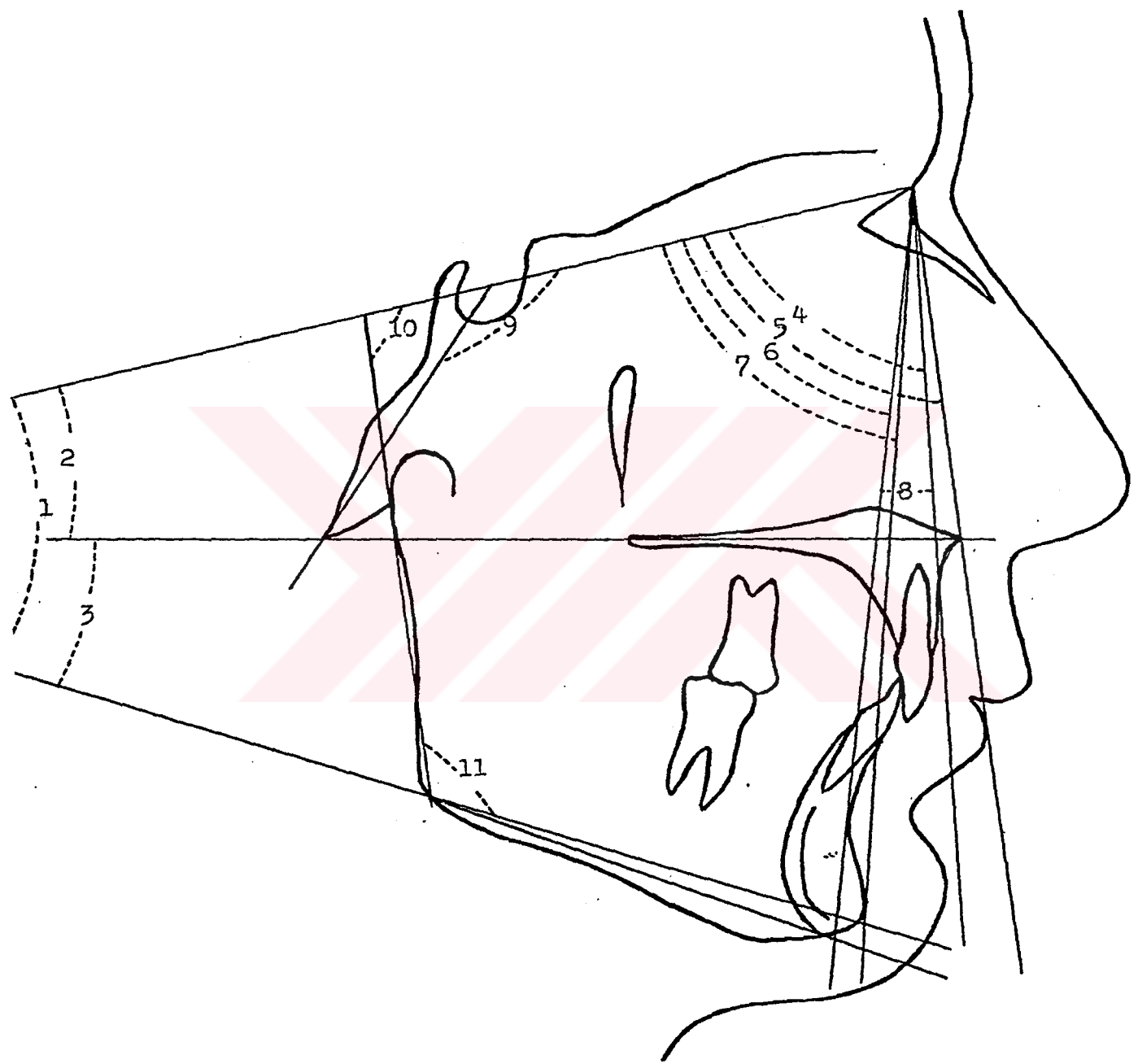
Mandibular Plan (MP) : Go ve Me noktalarını birleştiren ve Me Düzlemini oluşturmak üzere kullandığımız alt gene düzlemidir.



*Şekil 3.4 : Araştırmamızda Kullanılan Dentoalveoler  
Referans Düzlemleri.*

Araştırmamızda kullanılan iskeletsel açısal ölçümler şunlardır (Şekil 3.5).

1. Go Gn SN : Mandibuler düzlem (Go Gn) ile SN doğrusu arasında oluşan açı.
2. PP/SN : Palatal plan (ANS PNS) ile SN doğrusu arasında oluşan açı.
3. PP/MP : Palatal plan ile mandibuler düzlem arasında oluşan açı.
4. SNA : SN ve NA doğruları arasında oluşan açı.
5. SN/ANS : SN ve N ANS doğruları arasında oluşan açı
6. SNB : SN ve NB doğruları arasında oluşan açı.
7. SN/Pg : SN ve N Pg doğruları arasında oluşan açı.
8. ANB : AN ve NB doğruları arasında oluşan açı.
9. NS/Ba : NS ve S Ba doğruları arasında oluşan açı.
10. SN/ArGo : SN ve Ar Go doğruları arasında oluşan açı
11. ArGoMe : Ar Go ve Go Me doğruları arasında Go noktası köşe olmak üzere oluşan iç açı.



Şekil 3.5 : Araştırmamızda Kullanılan İskelletal Açışal  
Ölçümler.

Araştırmamızda kullanılan iskeletsel boyutsal ve oransal ölçümler şunlardır(Şekil 3.6) :

12. S-N : Anterior kranial kaide uzunluğu

13. N-Me : Total ön yüz yüksekliği.

14. N-ANS : Üst ön yüz yüksekliği.

15. ANS-Me : Alt ön yüz yüksekliği.

16. S-PNS : Üst arka yüz yüksekliği.

17. PNS-Go : Alt arka yüz yüksekliği.

18. S-Go : Total arka yüz yüksekliği.

19. ANS-PNS : Total maksiller boyutu.

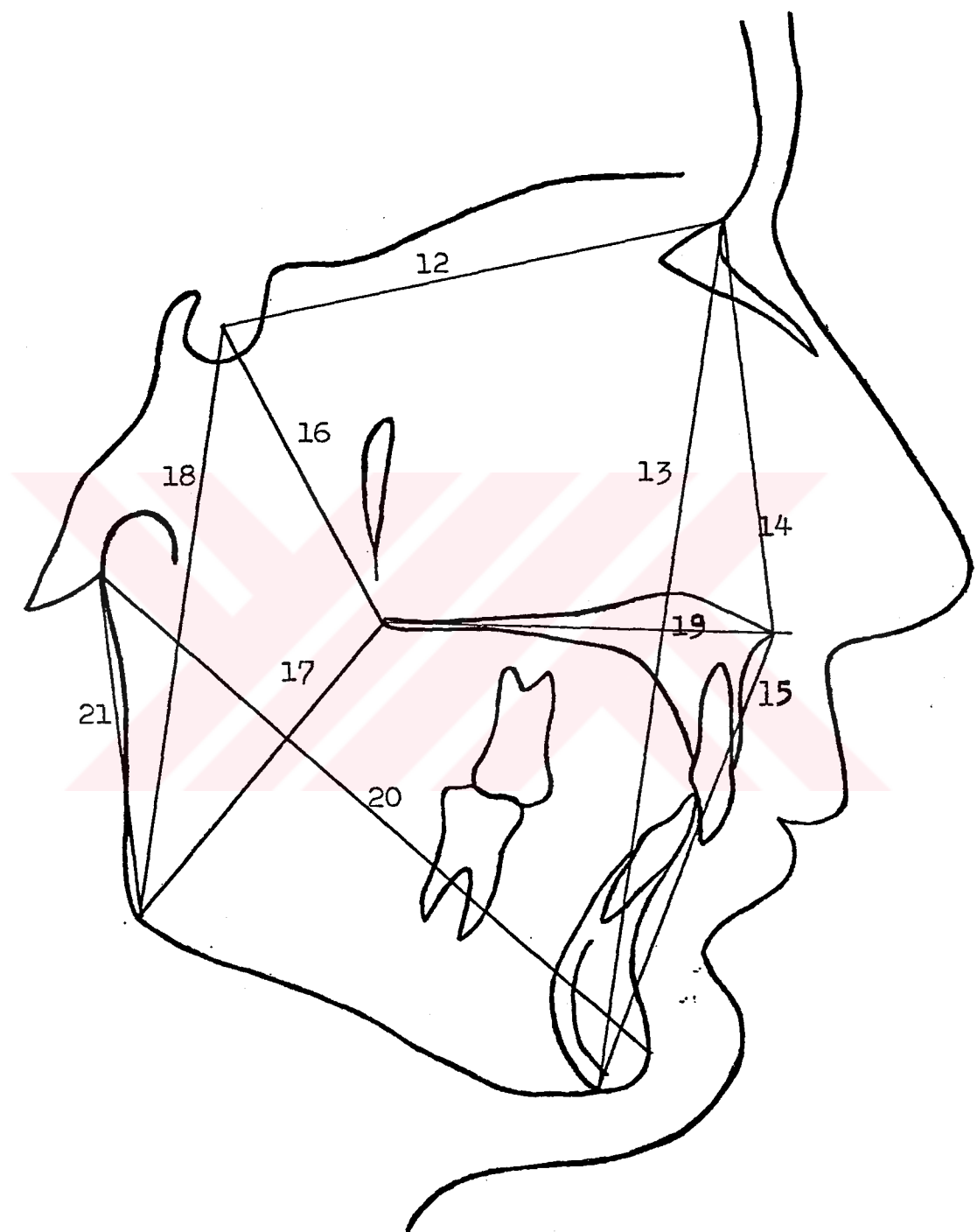
20. Ar-Pg : Efektif mandibular uzunluk.

21. Ar-Go : Efektif ramus boyutu.

22.  $\frac{S-Go}{N-Me}$  : Jarabak oranı.

23.  $\frac{N-ANS}{ANS-Me}$  : Üst ön yüzün alt ön yüze oranı.

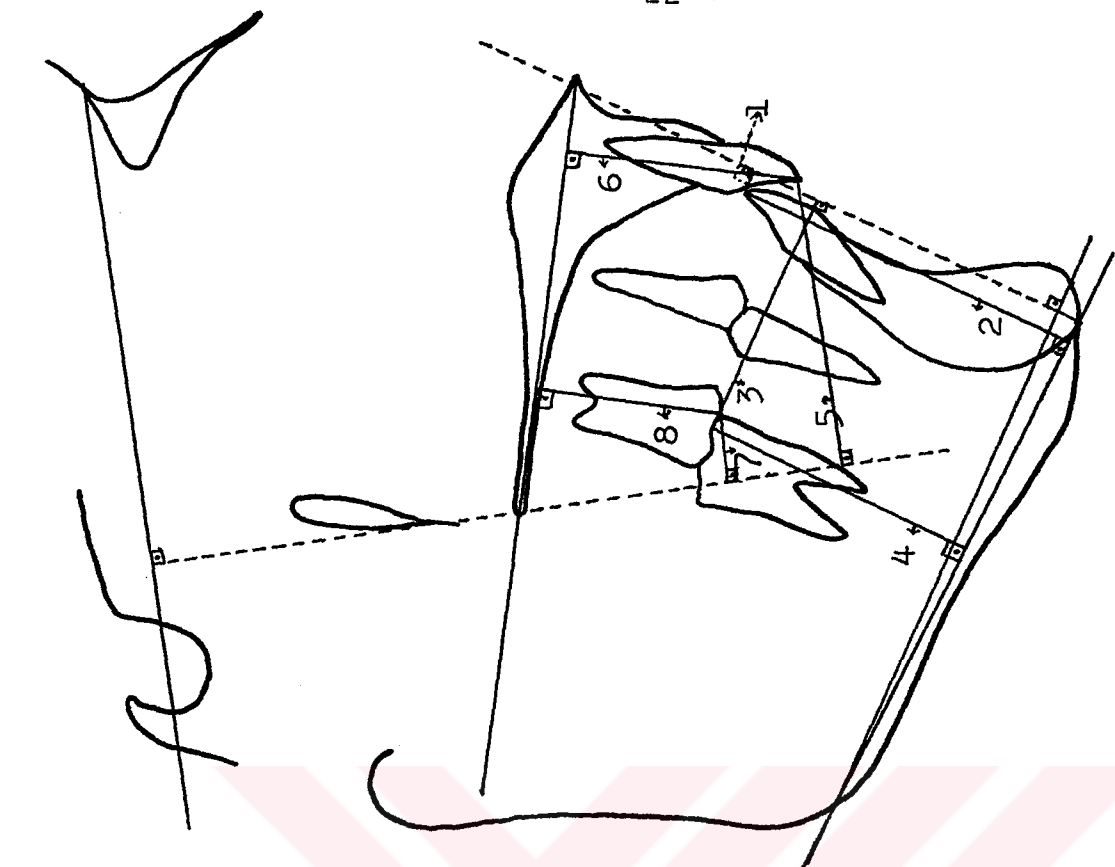
24.  $\frac{S-PNS}{PNS-Go}$  : Üst arka yüzün alt arka yüze oranı.



Şekil 3.6 : Araştırmamızda kullanılan İskelletal Boyutsal Ölçümler.

Araştırmamızda kullanılan dental açısal ölçümler şunlardır (Şekil 3.7).

1. 1/1 : Alt ve üst en ileri orta keserlerin uzun eksenleri arasındaki açı.
2. 1/SN : Üst orta keserin uzun eksenile SN doğrusu arasındaki açı.
3. 1/PP : ANS PNS doğrusu ile Üst orta keserin uzun eksenile arasındaki açı.
4. 1/NA : NA doğrusu ile Üst orta keserin uzun eksenile arasındaki açı.
5. 1/SN : SN doğrusu ile alt orta keserin uzun eksenile arasındaki açı.
6. 1/MP : Mandibular plan (Go-Me) ile alt orta keserin uzun eksenile arasındaki açı.
7. 1/NB : NB doğrusu ile alt orta keserin uzun eksenile arasındaki açı.
8. 1/FOP : Fonkisiyonel oklüzal plan ile Üst orta keserin uzun eksenile arasındaki açı.
9. 1/FOP : Fonkisonel oklüzal plan ile alt orta keserin uzun eksenile arasındaki açı.
10. FOP/SN : SN doğrusu ile FOP arasında oluşan açı.
11. FOP/MP : FOP ile MP (Go GN) arasında oluşan açı
12. FOP/PP : FOP ile palatal plan arasındaki açıdır.



Şekil 3.7 : Araştırmamızda Kullanılan Dental  
Ağsal Ölçümler.

Şekil 3.8 : Araştırmamızda Kullanılan  
Dental Boyutsal Ölçümler.

Araştırmamızda kullanılan dental boyutsal ve oransal ölçümler şunlardır (Şekil 3.8).

1. T-Me D : Alt orta keserin kesici kenarının Me D'ye olan dik uzaklığı.

2. T-MP : Alt orta keserin kesici kenarının (Go Me)'a olan dik uzaklığı.

3. E-Me D : Alt 1. büyük ağız dışının mezial tüberkülin tepesinin Me D'ye' olaan dik uzaklığı.

4. E-MP : Alt 1. büyük ağız dışının mezial tüberkülin tepesinin (Go Me)'a olan dik uzaklığı.

5. 1-PNS D : Üst orta keserin kesici kenarının PNS D'ye olan dik uzaklığı.

6. 1-PP : Üst orta keserin kesici kenarının palatal plana olan dik uzaklığı.

7. E-PNS D : Üst 1. büyük ağız dışının mezial tüberkülin tepesinin PNS D'ye olan dik uzaklığı.

8. E-PP : Üst 1. büyük ağız dışının mezial tüberkülin tepesinin palatal plana olan dik uzaklığı.

9. Overbite : Alt ve Üst orta keserlerin kesici kenarının oklizal plana olan dik uzaklıklarını

10. OVERJET : Alt ve Üst keserlerin kesici kenarlarıının oklizal plana olan dik uzaklıklarını arasındaki yatay boyut.

11.  $\frac{\overline{6-MP}}{\overline{1-MP}}$  : Alt 6 ve alt 1 nolu dişlerin MP'ye o-  
lan uzaklıklarını arasındaki orandır.

12.  $\frac{\overline{6-PP}}{\overline{1-PP}}$  : Üst molar alveolar boyutun üst keser  
alveolar boyutuna olan oranıdır.

13.  $\frac{\overline{1-PP}}{\overline{1-MP}}$  : Üst keser alveoler boyutunun alt keser  
alveoler boyutuna olan oranıdır.

14.  $\frac{\overline{6-PP}}{\overline{6-MP}}$  : Üst molar alveolar boyutunun alt molar  
alveolar boyutuna olan oranıdır.



Araştırmamızda kullandığımız parametrelere ait verilerin elde edilmesinde Hewlett Packard Vectra RS/20 bilgisayar, Houston Hipad Digitizer ve Hewlett Packard Printer'dan yararlanılmıştır. Bu amaçla Danimarka Ortodontik Bilgisayar Bilimleri Enstitüsünde hazırlanan ve ortodontide routine olarak kullanılan sefhalometrik analizlere ilave olarak özel araştırmalara yönelik orjinal analizlerin programlanması ve kullanımı imkanı da veren "PORDIOS" (Purpose request Digitize Input Output system) programı kullanılmıştır. Bu şekilde araştırmamızda kullanılacak olan tüm parametrelere bilgisaya- ra yüklenikten sonra anatomik referans noktaları asetat kağıtlarına 0.3 mm lik yumuşak uçlu bir kalemlle işaretlenerek digitizer ve optik okuyucu aracılığı ile bilgisayara kaydedilerek 0.125 mm hassasiyetle hesaplanan veriler printer den elde edilmiştir.

#### Istatistik Yöntem :

En az iki hafta aradan sonra çizimler ve ölçümler 2. kez tekrarlanmış ve tekrarlama katsayıları Tablo 4.1'de verilmiştir.

Çalışmamızda ölçümlerimizin erken ve ileri gelişim dönemlerinde bulunan normal oklüzyonlu ve maloklüzyonlu bireylerden oluşan araştırma guruplarında farklılık gösterip göstermedikleri varyans analizi ve interaksiyon önemli çıktılarında Duncan testi ile araştırılmıştır.\*

---

\* Çalışmamızın istatistiki değerlendirilmesi Doç.Dr.F.Gürbüz ve Dr.E. Başpinar tarafından yapılmıştır.

## B U L G U L A R

Çalışmamızda kullandığımız ölçümlerde değerlendirme hatalarının olup olmadığını saptamak amacıyla ile toplam 120 film'den rastgele seçilen 40 film üzerinde noktalar yeniden işaretlenmiş ve veriler bilgisayar aracılığı ile elde edilmiştir.

Araştırmamızda kullanılan açısal, boyutsal ve oran-sal ölçümlere ait tekrarlama kat sayıları Tablo 4.1'de gö-rüldüğü gibi yüksek bulunmuştur.

Tablo 4.1: Araştırmalarımızda kullanılan, açısal, boyutsal  
ve oransal ölçümlere ait tekrarlama katsayıları.

PARAMETRE	TEKRARLAMA KATSAYISI (r)	PARAMETRE	TEKRARLAMA KATSAYISI (r)
GoGn/SN	0.89676	<u>1</u> / <u>1</u>	0.98009
PP/SN	0.97035	<u>1</u> /SN	0.97659
PP/MP	0.96222	<u>1</u> /PP	0.97090
SNA	0.96843	<u>1</u> /NA	0.98042
SN ANS	0.95812	<u>1</u> /SN	0.98009
SNB	0.95469	<u>1</u> /MP	0.97653
SN Pg	0.95521	<u>1</u> /NB	0.98151
ANB	0.98595	<u>1</u> /FOP	0.94662
NSBa	0.97277	<u>1</u> /FOP	0.95978
SN/ArGo	0.95614	FOP/SN	0.75916
ArGoMe	0.97561	FOP/MP	0.74719
S-N	0.98101	FOP/PP	0.88041
N-Me	0.98050	<u>1</u> -MeD	0.78347
N-ANS	0.98523	<u>1</u> -MP	0.95536
ANS-Me	0.97204	<u>6</u> -MeD	0.97262
S-PNS	0.97308	<u>6</u> -MP	0.96878
PNS-Go	0.97724	<u>1</u> -PNSD	0.98324
S-Go	0.96849	<u>1</u> -PP	0.98447
ANS-PNS	0.97147	<u>6</u> -PNSD	0.94880
Ar-Pg	0.99186	<u>6</u> -PP	0.96649
AR-Go	0.96171	Ovebite	0.98246
S-Go	0.87220	Overjet	0.96108
N-Me		<u>6</u> -MP	0.94033
N-ANS	0.97309	<u>1</u> -MP	
ANS-Me		<u>6</u> -PP	0.92597
S-PNS	0.96570	<u>1</u> -PP	
PNS-Go		<u>1</u> -PP	0.97454
		<u>6</u> -PP	
		<u>6</u> -MP	0.96228

Ötülü kapanış gösteren ve aynı zamanda iskeletsel olaraka dik yön açısının düşük olduğu bireylerden oluşmuş erken ve ileri gelişim dönemlerindeki maloklüzyon gurupları ile iskelet yapı olarak dik yön açısı düşük ancak normal oklüzyonlu ve normal bir overbite, ovejet ilişkisine sahip bireylerden oluşmuş erken ve ileri gelişim dönemindeki guruplara ilişkin iskeletsel ve dental ölçümlerimizin ortalama değerleri Tablo 4.2-4.5'de verilmiştir.

Tablo 4.6'da ise bu ölçümlerimizin maloklüzyon ve normal oklüzyonlu guruplara ait ortalama değerlerinin iskeletsel olgunlğa göre oluşturulmuş erken ve ileri gelişim dönemleride dikkate alınarak varyans analizi ve Duncan testi ile karşılaştırılması sonucunda elde edilen bugular görülmektedir.

Tablo 4.6'nın incelenmesinden de anlaşılacağı gibi araştırmalarımızın oluşturulmasında kullandığımız, iskeletsel olarak dik yön'e ilişkin bilgiyi veren ve rutinde genellikle kullanılan Go Gn SN açısı ve Jarabak oranı ( $\frac{S-Go}{N-Me}$ )'na ilişkin ortalama değerler normal oklüzyon ve maloklüzyon gurupları arasında istatistiksel olarak önemli bir fark göstermemektedir.

Bu ölçümlerimizin erken ve ileri gelişim dönemlerine ait ortalama değerleri arasındaki farklılığı bulunmuştur ( $P < 0.01$ ) (Tablo 4.6).

Tablo 4.2 : Maloklüzyon grubundaki iskeletsel ölçümlerin ortalama ( $\bar{X}$ ), standart hata ( $S_x$ ), minimum ve maksimum değerleri.

Moloklüzyon	ERKEN GELİŞİM				İLERİ GELİŞİM			
Parametre	$\bar{X}$	$S\bar{X}$	Min	Max	$\bar{X}$	$S\bar{X}$	Min	Max
GoGn/SN	27.70	0.58	22.24	31.37	24.63	0.76	10.04	31.75
PP/SN	8.69	0.74	2.72	16.26	9.44	0.57	1.94	15.35
PP/MP	18.67	0.72	11.75	22.94	15.20	0.84	1.60	23.30
SNA	81.20	0.72	76.55	88.43	80.93	0.48	72.66	86.43
SN ANS	87.06	0.66	81.77	93.46	86.84	0.59	76.56	94.53
SNB	77.81	0.52	74.41	84.30	77.24	0.49	69.99	83.26
SN Pg	79.71	0.53	76.36	87.16	79.55	0.48	71.93	86.39
ANB	3.39	0.50	-0.76	7.19	3.69	0.36	-1.73	8.98
NS Ba	129.63	0.81	122.60	136.81	130.13	0.75	122.15	144.09
SN/ArGo	85.49	1.00	78.19	94.23	86.56	0.64	79.58	97.44
ArGoMe	125.44	1.01	116.21	135.46	121.37	0.89	105.08	133.35
S-N	69.76	0.77	62.15	75.76	75.08	0.53	65.71	77.70
N-Me	114.33	0.74	108.33	120.72	118.75	1.12	107.70	141.81
N-ANS	52.97	0.56	48.60	58.50	55.66	0.52	50.87	64.05
ANS-Me	63.29	0.56	57.98	68.29	64.98	0.97	52.98	80.16
S-PNS	47.58	0.60	42.58	52.22	48.79	0.57	40.56	56.87
PNS-Go	44.40	0.75	39.40	52.41	49.12	0.79	38.89	59.58
S-Go	77.71	0.95	69.81	87.67	84.92	0.99	74.23	100.57
ANS-PNS	52.19	0.56	47.62	58.70	54.48	0.45	49.76	60.73
Ar-Pg	103.51	1.24	89.63	114.32	106.90	0.97	96.47	118.72
Ar-Go	47.36	0.86	38.71	54.14	52.73	0.74	44.10	62.46
S-Go — N-Me	0.69	0.01	0.63	0.75	0.72	0.01	0.66	0.86
N-ANS — ANS-Me	0.84	0.01	0.73	0.99	0.86	0.02	0.74	1.12
S-PNS — PNS-Go	1.08	0.02	0.87	1.27	1.00	0.02	0.82	1.26

Tablo 4.3 : Maloklüzyon grubunda Dentoalveoler ölçümelerin ortalama ( $\bar{X}$ ), standart hata ( $S\bar{x}$ ), minimum ve maksimum değerleri.

Maloklüzyon	ERKEN GELİŞİM				İLERİ GELİŞİM			
	$\bar{X}$	$S\bar{x}$	Min	Max	$\bar{X}$	$S\bar{x}$	Min	Max
<u>1/I</u>	143.85	2.08	125.18	157.54	132.2	1.22	-176.6	178.20
<u>1/SN</u>	94.47	1.22	82.72	105.33	88.78	1.53	62.91	103.15
<u>1/PP</u>	103.17	1.25	91.93	121.60	98.22	1.53	71.35	109.78
<u>1/NA</u>	13.27	1.26	2.73	22.24	7.85	1.62	-18.83	24.63
<u>I/SN</u>	58.33	1.73	42.62	72.25	60.43	1.35	42.00	77.02
<u>I/MP</u>	90.74	1.49	75.79	104.68	91.51	1.21	76.04	107.99
<u>I/NB</u>	19.48	1.63	5.40	35.27	16.78	1.24	-1.11	31.60
<u>1/FOP</u>	68.70	1.26	54.61	78.52	76.01	1.68	58.56	106.38
<u>I/FOP</u>	75.17	1.54	60.62	91.31	75.64	1.34	57.49	93.96
FOP/SN	16.83	0.71	10.90	23.89	15.19	0.74	5.47	28.35
FOP/MP	10.88	0.58	5.76	18.06	9.43	0.73	-0.72	20.45
FOP/PP	7.84	0.85	-4.43	15.13	5.77	0.70	-1.98	15.70
<u>I-Me D</u>	15.96	0.64	8.53	21.40	18.01	0.52	11.18	25.28
<u>I-MP</u>	39.05	0.49	33.54	42.51	40.75	0.52	35.40	50.80
<u>6-Me D</u>	43.39	0.82	36.12	49.99	43.50	0.67	36.46	53.26
<u>6-MP</u>	28.94	0.43	27.71	32.64	31.36	0.49	24.14	39.47
<u>1-PNS D</u>	33.44	0.69	24.22	39.02	31.66	0.64	22.81	40.36
<u>1-PP</u>	28.40	0.48	22.62	32.00	28.63	0.48	22.55	35.63
<u>6-PNS D</u>	5.02	0.72	0.45	12.11	4.69	0.48	0.26	11.93
<u>6-PP</u>	22.43	0.41	18.77	26.12	23.64	0.41	19.12	30.01
Overbite	5.57	0.27	3.35	9.31	6.01	0.31	3.20	11.02
Overjet	4.13	0.22	2.13	6.26	3.51	0.14	1.56	5.36
<u>6-MP</u>	0.74	0.01	0.66	0.82	0.77	0.01	0.68	0.87
<u>I-MP</u>	0.79	0.01	0.70	0.89	0.83	0.01	0.72	0.97
<u>1-PP</u>	0.73	0.02	0.57	0.86	0.71	0.01	0.56	0.83
<u>1-MP</u>	0.78	0.02	0.58	0.95	0.76	0.01	0.65	0.92

**Tablo 4.4 : Normal oklüzyon grubunda iskeletsel ölçümelerin ortalama ( $\bar{X}$ ), standart hata ( $Sx$ ), minimum ve maksimum değerleri.**

Moloklüzyon	ERKEN GELİŞİM				İLERİ GELİŞİM			
Parametre	$\bar{X}$	$S\bar{x}$	Min	Max	$\bar{X}$	$S\bar{x}$	Min	Max
GoGn/SN	27.93	0.53	21.53	30.67	24.58	0.71	15.41	31.67
PP/SN	7.83	0.71	-0.31	12.25	7.41	0.53	-0.13	15.40
PP/MP	20.10	0.74	13.93	28.23	17.17	0.67	8.70	25.47
SNA	81.79	0.79	76.23	88.39	82.36	0.58	75.76	90.01
SN ANS	86.57	0.78	80.96	94.83	87.82	0.60	81.51	95.05
SNB	79.16	0.70	73.40	85.18	80.31	0.51	72.74	87.09
SN Pg	79.84	0.63	74.09	85.99	81.63	0.53	73.56	88.55
ANB	2.76	0.34	-0.58	6.58	2.11	0.33	-1.44	6.97
NS Ba	130.08	1.07	120.43	140.24	129.23	0.72	117.32	136.84
SN/ArGo	86.68	1.05	72.47	96.30	85.50	0.66	75.94	92.82
ArGoMe	124.71	0.89	117.98	137.87	122.66	0.77	114.25	131.60
S-N	68.38	0.63	63.56	76.12	71.64	0.55	65.22	79.55
N-Me	117.07	0.97	107.21	124.04	120.33	1.34	104.89	137.48
N-ANS	54.27	0.59	49.47	57.97	55.02	0.58	48.73	63.94
ANS-Me	64.39	0.78	57.98	70.77	66.73	1.02	55.37	80.91
S-PNS	49.14	0.51	45.51	54.64	51.20	0.56	42.52	59.36
PNS-Go	44.76	0.75	35.39	50.18	49.14	0.72	41.45	59.72
S-Go	79.22	0.79	70.87	89.82	85.05	1.13	72.28	101.00
ANS-PNS	51.77	0.66	44.77	57.76	52.77	0.72	44.75	64.18
AR-Pg	105.14	0.63	100.43	112.89	110.19	0.95	96.71	124.37
AR-Go	47.23	0.64	42.12	53.70	53.26	0.80	46.54	68.97
S-Go	0.68	0.01	0.64	0.73	0.71	0.01	0.64	0.78
N-Me	0.85	0.12	0.70	0.95	0.83	0.12	0.68	0.95
ANS-Me	1.11	0.02	0.92	1.36	1.11	0.02	0.92	1.36

**Tablo 4.5 : Normal oklüzyon grubunda dento alveoler ölçümelerin ortalama ( $\bar{X}$ ), standart hata ( $S\bar{x}$ ), minimum ve maksimum değerleri.**

Moloklüzyon	ERKEN GELİŞİM				İLERİ GELİŞİM			
Parametre	$\bar{X}$	$S\bar{x}$	Min	Max	$\bar{X}$	$S\bar{x}$	Min	Max
<u>1/I</u>	132.19	1.91	117.27	156.18	132.24	1.12	119.28	149.38
<u>1/SN</u>	100.26	1.52	85.56	109.97	103.01	0.77	91.57	111.89
<u>1/PP</u>	108.09	1.33	95.69	118.22	110.42	0.75	96.79	119.17
<u>1/NA</u>	18.47	1.39	4.37	29.37	20.59	0.87	6.48	31.87
<u>1/SN</u>	52.45	1.14	42.52	64.48	55.25	0.98	46.04	70.81
<u>1/MP</u>	96.14	0.94	84.21	103.43	96.60	0.88	84.60	105.80
<u>1/NB</u>	26.28	1.06	15.83	37.95	25.01	0.77	14.15	32.66
<u>1/FOP</u>	62.30	1.23	49.44	75.24	62.87	1.04	40.46	76.90
<u>1/FOP</u>	69.88	1.15	60.66	85.20	68.82	0.83	61.29	81.26
FOP/SN	17.44	0.63	11.47	23.69	13.58	0.61	4.76	20.89
FOP/MP	10.49	0.49	6.35	14.59	11.01	0.60	5.24	19.64
FOP/PP	9.61	0.70	3.79	16.54	6.4	0.60	-3.19	13.61
<u>1-Me D</u>	16.61	0.50	12.06	19.93	17.41	0.54	12.64	24.01
<u>1-MP</u>	38.83	0.43	35.06	44.31	40.54	0.57	34.29	48.96
<u>6-Me D</u>	45.22	0.81	38.26	52.39	46.78	0.65	41.38	55.57
<u>6-MP</u>	31.22	0.57	27.06	33.82	32.93	0.51	27.72	40.86
<u>1-PNS D</u>	33.05	0.53	28.29	37.57	34.05	0.48	24.84	40.43
<u>1-PP</u>	27.61	0.53	22.63	31.86	27.79	0.46	22.72	33.81
<u>6-PNS D</u>	3.24	0.46	0.08	8.85	3.94	0.48	0.05	13.58
<u>6-PP</u>	21.79	0.44	18.22	26.34	23.70	0.39	19.05	29.83
Overbite	2.18	0.17	0.93	3.84	2.15	0.16	0.05	4.36
Overjet	2.56	0.11	1.83	3.6	2.50	0.10	1.42	4.35
<u>6-MP</u>	0.80	0.01	0.75	0.85	0.81	0.004	0.76	0.87
<u>1-MP</u>	0.79	0.01	0.68	0.87	0.85	0.01	0.75	0.98
<u>1-PP</u>	0.71	0.01	0.59	0.80	0.68	0.01	0.60	0.80
<u>6-PP</u>	0.70	0.01	0.60	0.87	0.72	0.01	0.60	0.82
<u>6-MP</u>	0.70	0.01	0.60	0.87	0.72	0.01	0.60	0.82

Tablo 4.6 : Ölçümlerin ( A: normal - maloklüzyon, B: erken-ileri gelişim)  
Varyans analizi ile incelenmesi:

PARAMETRE	A	B	AxB	PARAMETRE	A	B	AxB
Gogn/SN		* *		<u>1/1</u>			
PP/SN	*			<u>1/SN</u>			*
PP/MP	*	* *		<u>1/PP</u>			*
SNA				<u>1/NA</u>			*
SN ANS				<u>1/SN</u>	* *		
SNB	* *			<u>1/MP</u>	* *		
SN Pg	*			<u>1/NB</u>	* *		
ANB	* *			<u>1/FOP</u>			*
NS Ba				<u>1/FOP</u>	* *		
SN/ArGo				FOP/SN		* *	
ArGoMe		* *		FOP/MP			
S-N		* *		FOP/PD		* *	
N-Me		* *		<u>1-MeD</u>		*	
N-ANS		* *		<u>1-MP</u>		* *	
ANS-Me		*		<u>6-MeD</u>	* *	* *	
S-PNS	* *	* *		<u>6-MP</u>	* *		
PNS-Go		* *		<u>1-PNS D</u>			*
S-Go		* *		<u>1-PP</u>			
ANS-PNS		*		<u>6-PNS D</u>	*		
Ar-Pg	*	* *		<u>6-PP</u>		* *	
Ar-Go		* *		Overbite	* *		
S-Go		* *		Overjet	* *		
<u>N-Me</u>				<u>6-MP</u>	* *	* *	
<u>N-ANS</u>				<u>1-MP</u>			
<u>ANS-Me</u>				<u>6-PP</u>			
<u>S-PNS</u>				<u>1-PP</u>			
<u>PNS-Go</u>				<u>1-PP</u>			
				<u>1 MP</u>			
				<u>6-PP</u>			
				<u>6 MP</u>	* *		

İnteraksion'un önemli bulunmaması hem anomali hem de normal oklüzyon grubunda erken ve ileri gelişim dönemlerine ait ortalama değerlerin aynı şekilde farklılık gösterdiğini, her iki gelişim döneminde de normal oklüzyon ve maloklüzyon grubu arasında istatistiksel olarak önemli bir farklılık bulunmadığını ifade etmektedir.

Tabelo 4.2 ve 4.4'den bu gruplara ait ortalama değerler incelendiğimde  $G_0$   $G_n$  açısının maloklüzyon grubunda erken gelişim dönemine ait ortalama değeri  $\bar{X} = 27.70 \pm 0.58$  ileri gelişim dönemine ait ortalama değeri  $\bar{X} = 24.63 \pm 0.16$  dir. Vine aynı açının normal oklüzyon grubunda erken gelişim dönemine ait ortalama değeri  $\bar{X} = 27.93 \pm 0.51$ , ileri gelişim dönemine ait ortalama değeri  $\bar{X} = 24.58 \pm 0.71$  dir.

Buna göre  $G_0$   $G_n$  açısı maloklüzyon ve normal oklüzyon grupları arasında önemli bir fark göstermemektedir. Ancak her iki grupta da ileri gelişim dönemine ait ortalama değeri önemli ölçüde küçülmektedir.

Aynı şekilde Jarabak oranını bildiren ortalma değerlerde maloklüzyonlu grupta erken gelişim dönemi için  $\bar{X} = 0.68 \pm 0.01$ , ileri gelişim dönemi için  $\bar{X} = 0.71 \pm 0.01$ , normal oklüzyonlu grupta ise erken gelişim dönemi için  $\bar{X} = 0.68 \pm 0.01$  ileri gelişim dönemi için  $\bar{X} = 0.72 \pm 0.01$  dir.

Vine araştırma gruplarını oluşturulmasında kullanılan karakterlerden biri olan overbite ölçümü Tabelo 4.6'nın incelemesinden görüleceği gibi normal ve maloklüzyonlu gruplar

arasında  $P < 0.01$  düzeyinde önemli bir farklılık göstermektedir. Bu ölçümün erken ve ileri gelişim gruplarına ait ortalama değerleri arasında istatistiksel olarak önemli bir fark mevcut değildir ve interaksiyonda önemli bulunmamıştır.

Overbite ölçümünün normal oklüzyon grubundaki ortalama değeri erken gelişim dönemi için  $\bar{X} = 2.18 \pm 0.17$ , ileri gelişim dönemi için  $\bar{X} = 2.15 \pm 0.16$  dir. Maloklüzyon grubundaki ortalama değerler ise erken gelişim dönemi için  $\bar{X} = 5.57 \pm 0.27$  ileri gelişim dönemi için  $\bar{X} = 6.01 \pm 0.31$  dir (Tablo 4.5, 4.3).

Buna göre overbite ölçümü maloklüzyon gruplarında, normal oklüzyon gruplarına göre istatistiksel olarak önemli ölçüde büyütür ve her iki grupta da değerler erken ve ileri gelişim arasında önemli bir farklılık göstermemektedir.

Erken ve ileri gelişim dönemlerindeki bireylerden oluşturulan maloklüzyon ve normal oklüzyon gruplarımızda vertikal yöne ilişkin diğer ölçümlerimiz incelendiğinde palatal planın anterior kafa kaidesi ve mandibular düzlemle yaptığı açıları maloklüzyon ve normal oklüzyon grupları arasında istatistiksel olarak  $P < 0.05$  düzeyinde önemli bir farklılık gösterdiği anlaşılmaktadır (Tablo 4.6).

Ayrıca PP/MP açısının erken ve ileri gelişim dönemlerine ait ortalama değerleride istatistiksel olarak önemli farklılık göstermektedir ( $P < 0.01$ ). Ancak interaksiyon önemli bulunmamıştır (Tablo 4.6).

PP/SN açısının normal oklüzyon gruplarındaki ortala-

ma değerleri erken ve ileri gelişim dönemleri için  $\bar{X} = 7.83 \pm 0.71$  ve  $\bar{X} = 7.41 \pm 0.53$  tür. Aynı açının maloklüzyonlu gruplarda erken ve ileri gelişim dönemlerinde  $\bar{X} = 8.69 \pm 0.74$  ve  $\bar{X} = 9.43 \pm 0.37$  değerleri ile büyüdüğü anlaşılmaktadır (Tablo 4.4 ve 4.2).

Yine PP/MP açısının maloklüzyonlu gruplara ait ortalamalama değerleri erken ve ileri gelişim dönemleri için  $\bar{X} = 20.10 \pm 0.74$  ve  $\bar{X} = 17.17 \pm 0.67$  derecedir.

Buna göre alt ve üst çene kaideleri arasındaki açı hem maloklüzyon hem normal oklüzyonlu bireylerde ileri gelişim döneminde önemli ölçüde küçük değer göstermektedir. Ancak her gelişim döneminde bu açının maloklüzyonlu bireylerdeki değerleri düşük olmaktadır.

Ön yüz ve arka yüz yüksekliğine ilişkin boyutsal ölçümlerimizin tümü erken ve ileri gelişim dönemleri arasında ANS-Me boyutunda  $P < 0.05$  düzeyinde olmak üzere önemli bir farklılık göstermektedir ( $P < 0.01$ ). Tablo 4.4 ve 4.2'den bu ölçümelerin ileri gelişim dönemine ait ortalamalama değerlerinin hem normal hemde maloklüzyon grubunda daha büyük değer gösterdiği anlaşılmaktadır.

Ancak bu boyutsal ölçümlerden sadece S-PNS boyutu normal oklüzyonlu ve maloklüzyonlu bireyler arasında  $P < 0.01$  düzeyinde önemli bir farklılık göstermektedir. S-PNS boyutu normal oklüzyonlu bireylerde hem erken hemde ileri gelişim döneminde normal oklüzyonlu bireylerde ( $\bar{X} = 49.14 \pm 0.51$ ,

$\bar{X} = 51.20 \pm 0.56$  , maloklüzyonlu bireylere göre ( $\bar{X} = 41.58 \pm 0.60$  ,  $\bar{X} = 48.79 \pm 0.57$ ) daha büyük değer göstermektedir (Tablo 4.2, 4.4).

Üst ve alt ön yüz ve arka yüz yüksekliğine ilişkin orantılarda da normal ve maloklüzyon grupları arasında önemli fark olmadığı ve mevcut oranın gelişim dönemine göre değişmediği Tablo 4.6'dan görülmektedir.

Yine aynı tabloların incelenmesinden ön kafa tabanı uzunluğuna ilişkin SN düzlemi ile kafa tabanı açısının (NS Ba) maloklüzyonlu ve normal oklüzyonlu gruplar arasında her iki gelişim dönemi için önemli bir fark göstermediği ancak SN ölçümünün her iki grup için hem normal oklüzyonlu hem maloklüzyon grubunda ileri gelişim döneminde beklenildiği gibi daha büyük değer gösterdiği anlaşılmaktadır.

Aynı tablodan Üst çeneye ilişkin ölçütler incelendiğinde SNA ve SN ANS açısının gruplar arasında önemli bir ayrıcalık göstermediği ve hem maloklüzyon hem normal oklüzyon gruplarında erken ve ileri gelişim dönemine ait ortalama değerlerinde farklı olmadığı anlaşılmaktadır.

Üst çeneye ilişkin boyutsal bir ölçüm olan ANS PNS boyutu da maloklüzyon ve normal oklüzyon grupları arasında istatistik olarak önemli bir değişiklik göstermemektedir. Ancak her iki grupta birden ileri gelişim dönemine ait ortalama değerin daha büyük olduğu ve bunun istatistiksel olarak  $P < 0.05$  düzeyinde önem taşıdığını görülmektedir (Tablo 4.2, 4.4, 4.6).

Alt çeneye ilişkin SNB ve SN Pg ölçümüne ait ortalama değerler ise  $P < 0.01$  ve  $P < 0.05$  düzeyinde olmak üzere maloklüz yon ve normal oklüzyon grupları arasında farklı bulunmuştur Tablo 4.2 ve 4.4 ün incelenmesinden her iki ölçümün birden normal oklüzyonlu bireylerde yüksek değer taşıdığı görülmekte dir. SNB açısının normal oklüzyonlu gruptardaki ortalama değerleri erken ve ileri gelişim dönemleri için  $\bar{X} = 79.16 \pm 0.71$  ve  $\bar{X} = 80.31 \pm 0.51$  iken maloklüzyonlu gruptarda  $\bar{X} = 77.81 \pm 0.52$  ve  $\bar{X} = 77.24 \pm 0.49$  olarak bulunmuştur.

SN Pg açısının ortalama değerleri normal oklüzyonlu gruptarda erken ve ileri gelişim döneminde  $\bar{X} = 79.84 \pm 0.63$  ve  $\bar{X} = 81.63 \pm 81.63 \pm 0.53$  iken maloklüzyonlu gruptarda ise  $\bar{X} = 79.70 \pm 0.53$  ve  $\bar{X} = 79.55 \pm 0.48$  dir (Tablo 4.2 , 4.4).

Ar Pg boyutuda araştırma gruptları arasında  $P < 0.05$  , gelişim dönemleri arasında  $P < 0.01$  düzeyinde önemli farklılık göstermektedir. Tablo 4.2 nin incelenmesinden bu ölçümümüzün her iki gelişim döneminde de maloklüzyonlu gruptarda daha küçük ortalama değere sahip olduğu anlaşılmaktadır. Bu ölçümün ortalama değerleri normal oklüzyonlu gruptarda erken gelişim dönemleri için  $\bar{X} = 105.14 \pm 0.63$  iken ileri gelişim dönemi için  $\bar{X} = 110.19 \pm 0.95$  olup maloklüzyonlu gruptardaki ortalama değerler ise  $\bar{X} = 103.51 \pm 1.24$  ve  $\bar{X} = 106.90 \pm 0.97$  dir.

Ramus boyutuna ilişkin Ar Go ölçümü ile ramus eğimine ilişkin SN/Ar Go açısı ve Ar Go Me açıları ise normal oklüzyon ve maloklüzyon gruptları arasında istatistiksel olarak önemli bir farklılık göstermemektedir.

Ancak Ar Go Me açısı ile ramus boyutuna ilişkin Ar Go ölçümüne ait ortalama değerler gelişim dönemleri arasında her iki grupta birden  $P < 0.01$  düzeyinde önemli farklılıklar göstermektedir (Tablo 4.6). Ramus boyutu normal oklüzyonlu gruplarda  $\bar{X} = 47.23 \pm 0.64$  ve  $\bar{X} = 53.26 \pm 0.80$  ve maloklüzyonlu gruplarda erken dönem  $\bar{X} = 47.36 \pm 0.86$ , ileri dönem  $\bar{X} = 52.73 \pm 0.74$  tür. Bu boyut ileri gelişim dönemlerinde daha büyük bir değere sahip olmaktadır (Tablo 4.2, 4.4).

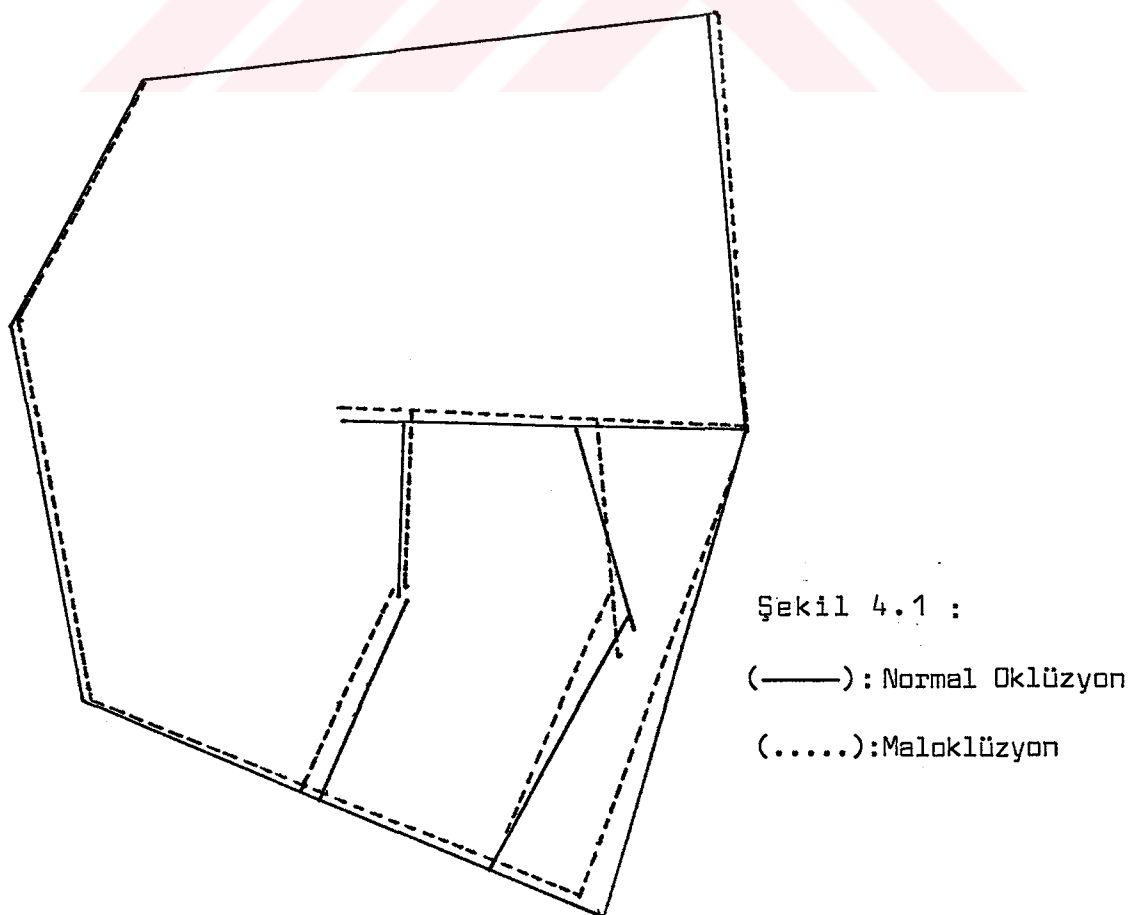
Ar Go Me açısı da normal oklüzyonlu grupta  $\bar{X} = 124.71 \pm 0.89$ ,  $\bar{X} = 126.66 \pm 0.77$  ve maloklüzyonlu gruplarda  $\bar{X} = 125.44 \pm 1.01$ ,  $\bar{X} = 121.37 \pm 0.89$  değerleri ile ileri gelişim döneminde daha küçük bir ortalama değer göstermektedir.

İskeletsel ölçümlerimizin hiç birinde inter aksiyonun önemli bulunmamış olması maloklüzyon ve normal oklüzyon grupları arasında gelişim dönemine ait ortalama değerlerden kaynaklanan bir farklılığın olmadığını göstermektedir. Bu nedenle erken ve ileri gelişim dönemlerini birleştirerek hazırladığımız ortalama değer diagramlarının SN hattında yapılan çakış tırmaları (Şekil 4.1) iskeletsel ölçümlerimizi özetle ifade etmektedir (Resim 4.1: Normal ve maloklüzyonlu bireylerin radyografileri).

Çalışmamızda kullandığımız dentoalveoler ölçümlerin erken ve ileri gelişim dönemlerinde bulunan maloklüzyon ve normal oklüzyonlu bireylere ait ortalama değerleri incelendiğinde keserlerarası açının ne erken gelişim döneminde ne de ileri gelişim döneminde normal oklüzyon ve maloklüzyon grupları arasında istatistiksel olarak önemli bir farklılık göster-



Resim 4.1 : Normal ve maloklüzyonlu bireylerin radyografileri.



Şekil 4.1 :

(—): Normal Oklüzyon

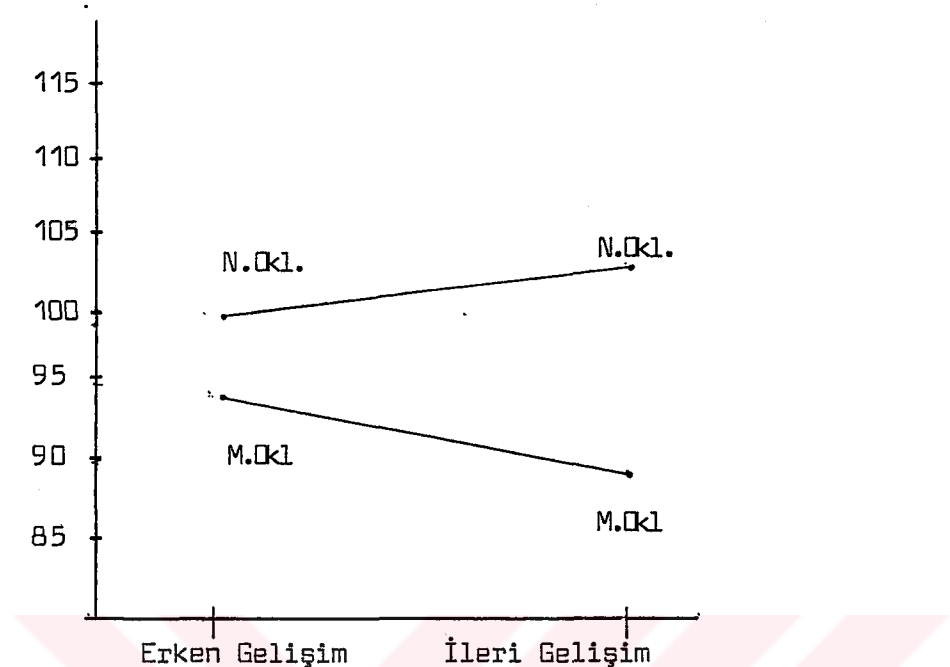
(....): Maloklüzyon

mədiği anlaşılmaktadır (Tablo 4.6).

Üst keser dişin ön kafa tabanına, palatal plana ve NA doğrusuna göre eğimini gösteren  $\bar{1}/SN$ ,  $\bar{1}/PP$  ve  $\bar{1}/NA$  ölçümlerin de interaksiyonlarının önemli olduğu görülmektedir (Tablo 4.6). Bu bulgu üst keser eksen eğimi ile ilgili ölçümlemlerin normal oklüzyon ve maloklüzyon gruplarında bireylerin erken ve ileri gelişim dönemlerinde bulunmasına göre farklılık gösterdiğini ifade ettiğinden Duncan testi ile araştırılmış ve Tablo (4.7, 4.8, 4.9) ve Grafik (4.1, 4.2, 4.3)'te verilmiştir. Adı geçen tablo ve grafiklerin incelenmesinden bu ölçümlemlerin normal oklüzyon gruplarındaki ortalama değerlerinin erken gelişim dönemi ve ileri gelişim dönemi arasında istatistiksel olarak önemli bir farklılık göstermediği açıklanmaktadır.

Ancak maloklüzyon gruplarında her üç ölçümün ileri gelişim dönemine ait ortalama değerleri daha küçük olup erken ve ileri gelişim dönemlerine ait ortalamalar arası fark  $P < 0.01$  düzeyinde önemlidir. Aynı şekilde bu ölçümlemlerin erken gelişim döneminde bulunan normal oklüzyonlu ve maloklüzyonlu bireylere ait ortalama değerleri arasındaki fark  $\bar{1}/SN$  ve  $\bar{1}/NA$  için  $P < 0.05$ ,  $\bar{1}/PP$  ölçümü için  $P < 0.01$  düzeyinde önemli ve maloklüzyonlu bireylerde küçüktür. Yine ileri gelişim döneminde ait ortalama değerlerde maloklüzyon ve normal oklüzyon grupları arasında  $P < 0.01$  düzeyinde olmak üzere farklı ve maloklüzyonlu bireylerde küçük olarak bulunmuştur.

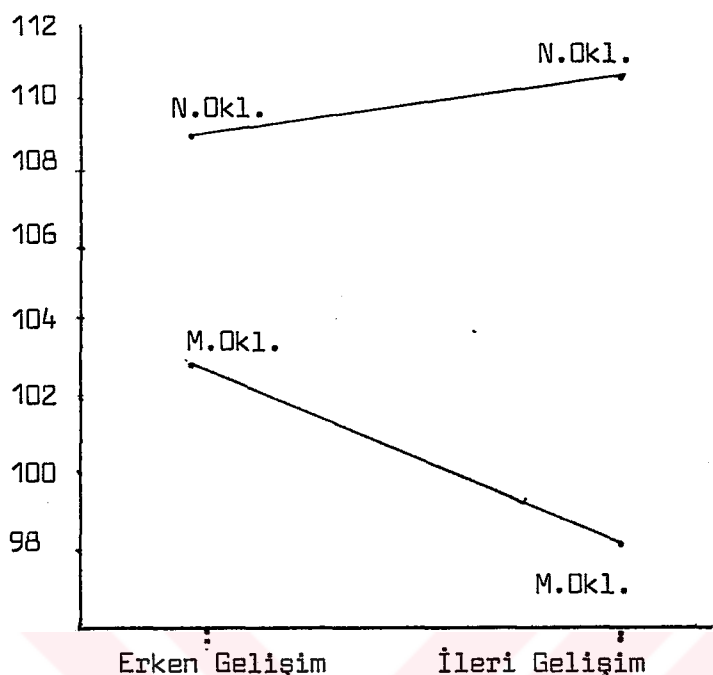
Alt keserin eksen eğimine ilişkin  $\bar{1}/SN$ ,  $\bar{1}/Me Go$  ve  $\bar{1}/NB$



Grafik 4.1 : 1/SN Öğünümüne Ait Duncan Testi Grafiği.

Tablo 4.7 : 1/SN Öğünümüne Ait Dunca Testi Tablosu:

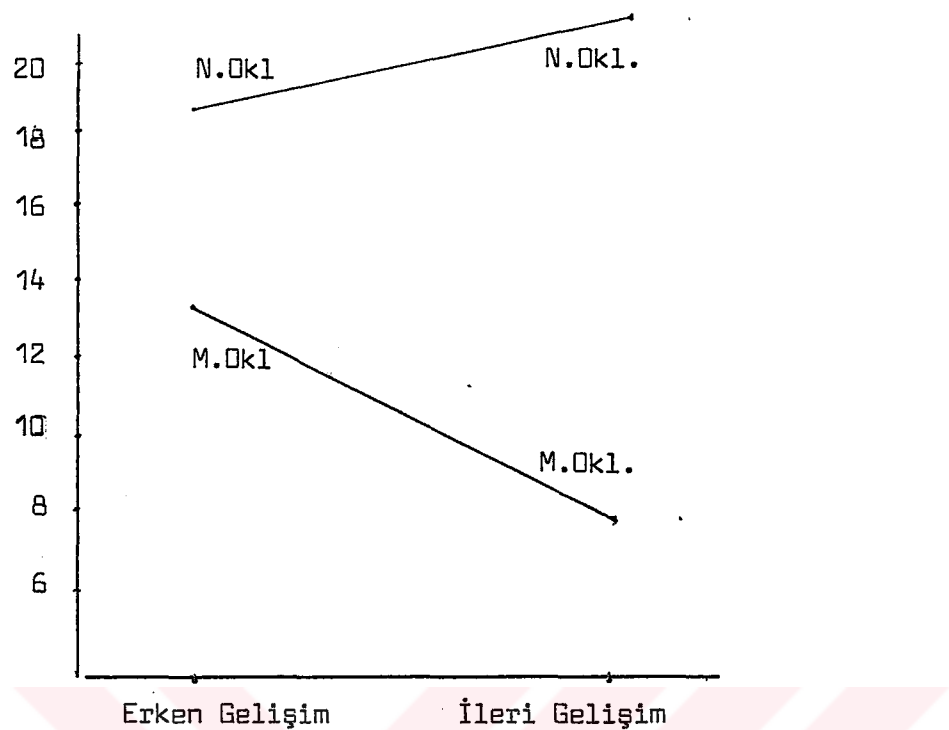
	N. Oklüzyon	M. Oklüzyon	TEST
Erken Gelişim	100.03	94.47	*
İleri Gelişim	103.00	88.78	* *
TEST	—	* *	



Grafik 4.2 : 1/PP Ölçümüne Ait Duncan Testi Grafiği.

Tablo 4.8 : 1/PP Ölçümüne Ait Duncan Testi Tablosu.

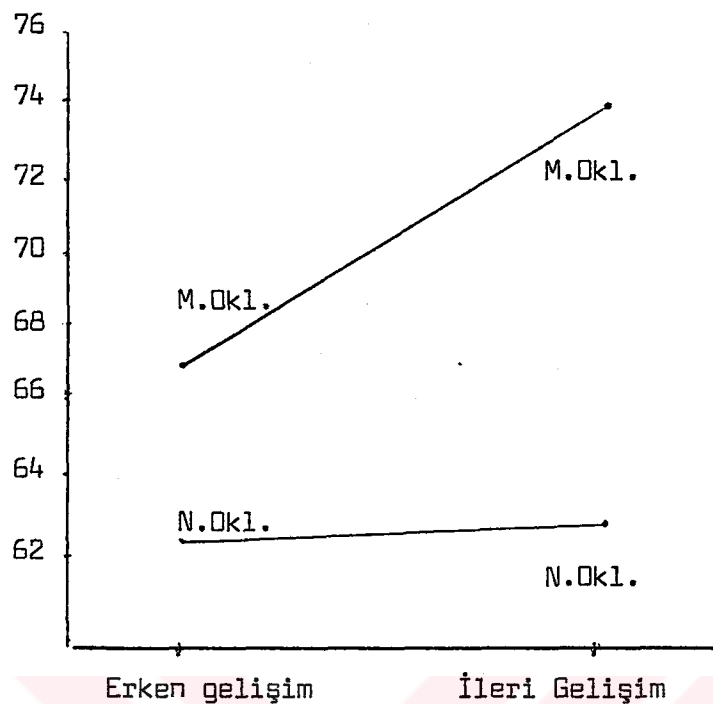
	N.Oklüzyon	M.Oklüzyon	TEST
Erken Gelişim	108.9	103.2	* *
İleri Gelişim	110.4	98.2	* *
TEST	—	* *	



Grafik 4.3 : 1/NA Ölçümüne Ait Duncan Testi Grafiği.

Tablo 4.9 : 1/NA Ölçümüne Ait Duncan Testi Tablosu.

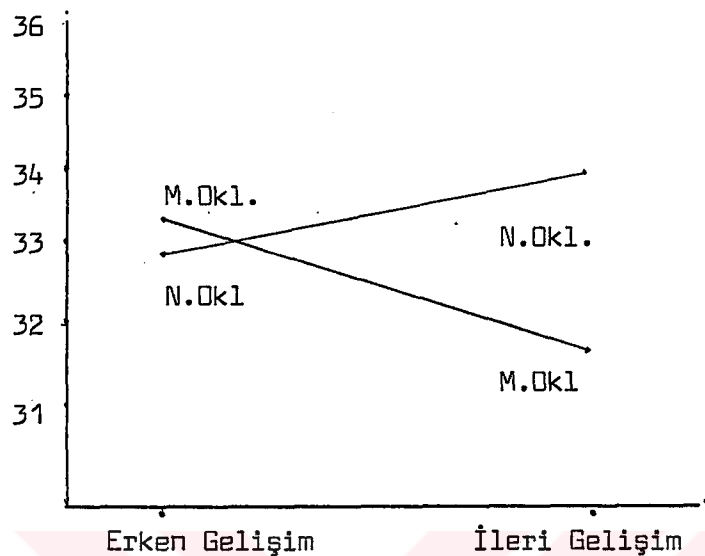
	N.Oklüzyon	M.Oklüzyon	TEST
Erken Gelişim	18.47	13.27	*
İleri Gelişim	20.59	7.85	* * *
TEST	—	* *	



Grafik 4.4 : 1/FOP Ölçümüne Ait Duncan Testi Grafiği.

Tablo 4.10 : 1/FOR Ölçümüne Ait Duncan Testi Grafiği.

	N.Oklüzyon	M.Oklüzyon	TEST
Erken Gelişim	62.30	68.70	*
İleri Gelişim	62.87	76.01	*
TEST	—	*	



Grafik 4.5 : 1/PNS D Ölçümüne Ait Duncan Testi Grafiği.

Tablo 4.11 : 1/PNS D Ölçümüne Ait Duncan Testi Tablosu.

	N. Oklüzyon	M. Oklüzyon	TEST
Erken Gelişim	33.05	33.44	—
İleri Gelişim	34.05	31.66	*
TEST	—	*	

değerleri incelendiğinde bu ölçümlerimizin gelişim dönemlerine göre bir farklılık göstermeden normal oklüzyon ve maloklüz yon grupları arasında  $P < 0.01$  düzeyinde önemli bir şekilde farklı eğime sahip oldukları anlaşılmaktadır. Tablo 4.3 ve 4.5 ten ortalamadeğerler incelendiğinde maloklüzyon grubunda  $\bar{Y}/SN$  açısının erken ve ileri gelişim dönemlerine ait ortalama değerleri  $\bar{X} = 58.33 \pm 1.73$  ve  $\bar{X} = 60.43 \pm 1.35$  iken normal oklüzyon grubunda  $\bar{X} = 52.45 \pm 1.14$  ve  $\bar{X} = 2.25 \pm 0.98$  lik değerlerle daha küçüktür.

Bunun yanısıra  $\bar{Y}/Me Go$  ve  $\bar{Y}/NB$  açıları incelendiğinde maloklüzyon grubunda  $\bar{X} = 90.74 \pm 1.49$  derece ve  $\bar{X} = 91.51 \pm 1.21$  derece ortalama değer gösteren  $\bar{Y}/Me Go$  açısının normal oklüzyon grubunda  $\bar{X} = 96.14 \pm 0.94$  ve  $\bar{X} = 96.60 \pm 0.88$  derece değerlerle büyük olduğu görülmektedir.

Benzer olarak  $\bar{Y}/NB$  açısının da maloklüzyonlu bireylere ait ortalama değerleri  $\bar{X} = 19.48 \pm 1.63$  ve  $\bar{X} = 16,78 \pm 1.24$  iken ,normal oklüzyonu bireylere ait ortalama değerleri  $\bar{X} = 26.58 \pm 1.06$  ve  $\bar{X} = 25.02 \pm 0.77$  derece olup daha büyütür.

Alt ve üst keser diş eksenlerinin fonksiyonel okluzal plana göre eğimleri incelendiğinde (Tablo 4.6)  $\bar{Y}/FOP$  açısının her iki gelişim döneminde benzer olarak maloklüzyonlu ve normal oklüzyonlu bireylerde farklı olduğu görülmektedir ( $P < 0.01$ ). Maloklüzyon ve normal oklüzyon grubundaki ortalama değerler incelendiğinde  $\bar{Y}/FOP$  açısının normal oklüzyonlu bireylerde ( $\bar{X} = 69.88 \pm 1.15$  ve  $\bar{X} = 68,82 \pm 0.82$ ) maloklüzyonlu bireylerden ( $\bar{X} = 75.17 \pm 1.54$ ,  $\bar{X} = 75.64 \pm 1.34$ ) daha küçük

olduğu anlaşılmaktadır.

1/FOP açısından interaksiyon mevcut olduğundan (Tablo 4.6) farklılığın nerden kaynaklandığı Duncan testi ile araştırılmıştır. Duncan testi Tablosu (tablo 4.10) ve grafiğinde (grafik 4.4) görüldüğü gibi hem erken hemde ileri gelişim döneminde 1/FOP açısından maloklüzyonlu bireylerdeki ortalama değerleri daha büyüktür ( $P < 0.05$ , Tablo 4.6).

1/FOP normal oklüzyonlu bireylerde erken ve ileri gelişim dönenine ait ortalama değerler arasında istatistiksel olarak önemli bir farklılık göstermezken, maloklüzyonlu gruplarda erken gelişim dönemine ait ortalama değer, ileri gelişim dönemine ait ortalama değerden  $P < 0.05$  düzeyinde önemli olmak üzere daha küçük tür ( $\bar{X} = 68.70 \pm 1.26$ ,  $\bar{X} = 76.01 \pm 1.68$ ).

FON'un SN, PP ve MP düzlemine göre konumu incelendi - günde (Tablo 4.6) normal oklüzyon ve maloklüzyonlu bireylerde istatistiksel olarak önemli bir değişiklik bulunmadığı ancak hem normal oklüzyon hemde maloklüzyonlu bireylerde FOP/SN ve FOP/PP açılarının gelişim dönemleri arasında farklılık olduğu ( $P < 0.01$ ) görülmektedir. Ortalama değerler incelendiğinde (Tablo 4.3 ve 4.5) bu iki açının hem normal hemde maloklüzyonlu bireylerde ileri gelişim döneminde daha küçük ortalama değere sahip olduğu görülmektedir.

Alt keser ve molar dişlerin dental ark içindeki konumları: yatay eksen MP ve dikey eksen Me noktasından MP ye dik çıkışlarak oluşturulan düzlemlere göre incelenmiştir. Tablo 4.6 dan alt keser dişlerin Me D ye sagital yöndeki uzaklığında mal

oklüzyonlu ve normal oklüzyonlu gruplar arasında istatistiksel olarak önemli bir fark olmadığı ancak hem maloklüzyonyu hem normal oklüzyonlu bireylerde erken ve ileri gelişim dönemine ait ortalama değerlerin  $P < 0.05$  düzeyinde önemli olmak üzere ayrıcalık gösterdiği görülmektedir. Ortalama değerler incelendiğinde (Tablo 4.3, 4.5) bu boyutun mal oklüzyon ( $\bar{X} = 15.96 \pm 0.64$ ,  $\bar{X} = 18.01 \pm 0.52$ ) ve normal oklüzyon grublarında ( $\bar{X} = 16.61 \pm 0.50$ ,  $\bar{X} = 17.41 \pm 0.54$ ) ileri gelişim dönemlerinde daha büyük olduğu yanı alt keser dişin daha geride konumlanmış olduğu anlaşılmaktadır.

Alt keser dişlerin kesici kenarlarının yatay eksene olan dik uzaklıklar ise hem maloklüzyon ve hemde normal oklüzyon grublarında erken ve ileri gelişim dönemleri arasında farklı bulunmuştur ( $P < 0.01$ ). Ancak normal ve maloklüzyonlu bireyler arasında fark saptanamamıştır. Ortalama değerler incelendiğinde bu boyutun maloklüzyonlu ve erken gelişim döneminde bulunan bireylere ait ortalama değerleri  $\bar{X} = 39.05 \pm 0.49$ , ileri gelişim döneminde bulunan bireylere ait ortalama değeri  $\bar{X} = 40.75 \pm 0.52$  dir. Yine normal oklüzyonlu ve erken gelişim dönemindeki bireylerin ortalama değerleri  $\bar{X} = 38.83 \pm 0.43$ , ileri gelişim dönemindeki bireylerin ortalama değerleri ise  $\bar{X} = 40.54 \pm 0.57$  dir.

Buna göre hem maloklüzyonlu hemde normal oklüzyonlu bireylerde  $\overline{I-MP}$  boyutu ileri gelişim döneminde daha büyük değer göstermektedir. Fakat ne erken ne de ileri gelişim döneminde maloklüzyonlu ve normal oklüzyonlu bireylerde önemli düzeyde bir fark mevcut değildir.

6 nolu dişin konumu incelendiğinde 6-Me D boyutunun gelişim dönemleri arasında fark göstermeden normal oklüzyon ve maloklüzyonlu bireylerde anlamlı ölçüde ayrıcalık gösterdiği görülmektedir ( $P<0.01$ , Tablo 4.6).

6 nolu dişin MP ye dik uzaklığını veren 6-MP boyutu incelendiğinde normal ve maloklüzyonlu bireyler arasında  $P = 0.01$  düzeyinde önemli bir ayrıcalık gösterdiği ve ayrıca bu ölçümün gelişim dönemleri arasında da farklı olduğu ( $P<0.01$ ) görülmektedir. 6-MP boyutunun erken gelişim dönemindeki normal oklüz-yonlu bireylere ait ortalama değeri ise  $\bar{X} = 31.22 \pm 0.37$ , maloklüzyonlu bireylere ait ortalama değeri ise  $\bar{X} = 29,94 \pm 0.43$  mm dir. Yine aynı ölçümün ileri gelişim dönemindeki normal oklüz-yonlu bireylere ait ortalama değeri  $\bar{X} = 32.93 \pm 0.51$  maloklüz-yonlu bireylere ait ortalama değeri ise  $\bar{X} = 31.36 \pm 0.49$  mm dir. Buna göre 6-MP boyutunun hem normal hem maloklüzyonlu bireyler de ileri gelişim dönemine ait değeri daha büyük ancak her iki gelişim döneminde de maloklüzyonlu bireylerdeki değeri normal oklüzyonlu bireylere göre anlamlı şekilde küçüktür.

Üst keser ve molar dişlerin dental arkaları içindeki konumları palatal plana ve PNS D düzlemine göre incelendiğinde 1-PNS D boyutunda interaksiyonun önemli olduğu görülmektedir (Tablo 4.6). Nedeni Duncan testi ile araştırıldığından bu ölçümün normal oklüzyonlu bireylerde erken ve ileri gelişim dönemi ne ait ortalama değerleri arasında istatistiksel olarak önemli bir farkın mevcut olmadığı ancak maloklüzyonlu bireylerde ileri gelişim dönemine ait ortalama değerin anlamlı şekilde küçüktür.

çük olduğu ( $P<0,05$ ) anlaşılmaktadır. Bu Ölçüm normal ve mal oklüzyonlu bireylende erken gelişim döneminde önemli bir fark göstermezken ileri gelişim döneminde maloklüzyonlu bireylerdeki değeri  $P<0.05$  düzeyinde olmak üzere önemli şekilde küçük - tür (Tablo 4.6).

6-PNS D boyutu ise gelişim dönemlerine göre bir farklılık göstermeden maloklüzyonlu ve normal oklüzyonlu bireylerde  $P = 0.905$  düzeyinde önemli farklılık göstermektedir. Bu ölçümün erken gelişim dönemindeki normal oklüzyonlu bireylere ait orta lama değeri  $\bar{X} = 3.24 \pm 0.46$  iken maloklüzyonlu bireylere ait ortalama değeri  $\bar{X} = 5.03 \pm 0.72$  yine ileri gelişim dönemindeki normal oklüzyonlu bireylere ait ortalama değer  $\bar{X} = 3.94 \pm 0.48$  iken maloklüzyonlu bireylere ait ortalama değeri  $\bar{X} = 4.69 \pm 0.42$  dir (Tablo 4.3 ve 4.5). Buna göre 6-PNS D boyutu gelişim dönemlerine göre önemli bir farklılık göstermemekte ancak her iki gelişim döneminde de maloklüzyonlu bireylere ait ortalama değeri normal oklüzyonlu bireylere göre daha büyük olmaktadır.

Üst keser ve molarların palatal düzleme dik uzaklıkları incelendiğinde 1-PP boyutunun her iki gelişim döneminde normal ve maloklüzyonlu bireyler arasında istatistiksel olarak önemli bir fark göstermediği anlaşılmaktadır.

8-PP boyutu ise normal oklüzyonlu ve maloklüzyonlu bireyler arasında önemli bir fark saptanamayıp hem maloklüzyonlu bireylerde hemde normal oklüzyonlu bireylerde gelişim dönemi - ri arasında istatistiksel olarak önemli ayrıcalık ( $P<0.01$ ) bulunmuştur (Tablo 4.6). Ortalama değerlere bakıldığından erken

gelişim dönemine ait ortalama değerler maloklüzyonlu ve normal oklüzyonlu bireylerde  $\bar{X} = 22.43 \pm 0.41$  ve  $\bar{X} = 21.92 \pm 0.44$  dür. İleri gelişim dönemine ait ortalama değerler ise  $\bar{X} = 23.64 \pm 0.41$  ve  $\bar{X} = 23.70 \pm 0.40$  olup daha büyüktür (Tablo 4.3 ve 4.5).

Üst çenede ön ve arka dentoalveoler yüksekliklerin oranı incelendiğinde bu oranın normal ve maloklüzyonlu bireylerde bir ayrıcalık göstermediği ancak ileri gelişim dönemine ait oranın erken gelişim döneminden farklı olduğu saptanmıştır (Tablo 4.6). Tablo 4.3 ve 4.5 incelendiğinde normal oklüzyonlu bireylerde erken gelişim döneminde  $\bar{X} = 0.79 \pm 0.01$  olan oranın ileri gelişim dönemine ait değerinin  $\bar{X} = 0.85 \pm 0.01$  olduğu yine maloklüzyonlu bireylerde erken gelişim döneminde  $\bar{X} = 0.79 \pm 0.01$  olan değerin ileri gelişim döneminde  $\bar{X} = 0.83 \pm 0.01$  olduğu görülmektedir.

Alt çenede ön ve arka alveoler yüksekliklerin oranı ise normal ve maloklüzyonlu bireyler arasında  $P < 0.01$  düzeyinde önemli farklılık göstermektedir. Bu oranın erken gelişim dönemindeki değeri normal oklüzyonlu bireylerde  $\bar{X} = 0.80 \pm 0.01$  iken maloklüzyonlu bireylerdeki değeri  $\bar{X} = 0.74 \pm 0.01$  olup küçülmüştür. Yine ileri gelişim dönemindeki normal oklüzyonlu bireylerdeki değeri  $\bar{X} = 0.81 \pm 0.00$ , maloklüzyonlu bireylerdeki değeri ise  $\bar{X} = 0.77 \pm 0.01$  olup aynı şekilde küçülmüştür. Buna göre  $\frac{6-PP}{1-PP}$  oranı hem norma hem maloklüzyonlu bireylerde ileri gelişim döneminde  $P < 0.01$  düzeyinde önemli olmak üzere daha büyük bir değer göstermekte ancak her iki gelişim döneminde de maloklüzyonlu bireylerde önemli ölçüde küçük olduğu

anlaşılmaktadır ( $P < 0.01$ ).

Alt ve Üst ön alveoler yüksekliklerin oranını veren  $\frac{1-PP}{1-MP}$  oranı ise normal oklüzyonlu ve maloklüzyonlu bireyler arasında önemli bir fark göstermemektedir ancak hem maloklüz-yonlu hemde normal oklüzyonlu bireylerde gelişim dönemlerine ait ortalamalar arasında  $P < 0.05$  düzeyinde önemli ayrıcalık saptanmıştır. Tablo(4.3 ve 4.5)'in de incelenmesinden anlaşılıcagı gibi bu oranın normal oklüzyonlu bireylerde erken gelişim dönemine ait  $\bar{X} = 0.71 \pm 0.01$  lik değeri ileri gelişim döneminde  $\bar{X} = 0.69 \pm 0.01$  olup küçülmektedir. Yine aynı şekilde maloklüzyonlu bireylerde erken gelişim dönemine ait  $\bar{X} = 0.73 \pm 0.01$  ortalaması ileri gelişim döneminde daha küçük bir değer göstermektedir ( $\bar{X} = 0.71 \pm 0.01$ ).

Alt ve Üst arka alveoler yüksekliklerin birbirine oranı ise gelişim dönemlerine göre ayrıcalık göstermektedir. Ancak her iki gelişim döneminde normal ve maloklüzyonlu bireylere ait ortalama değerlerin arasında  $P < 0.01$  düzeyinde önemli farklılık olduğu yine Tablo 4.6 nin incelenmesinden anlaşılmaktadır.  $\frac{6-PP}{6-MP}$  oranının ortalama değerleri normal oklüzyonlu bireylerde erken ve ileri gelişim dönemlerinde  $\bar{X} = 0.70 \pm 0.01$  ve  $\bar{X} = 0.72 \pm 0.01$ , maloklüzyonlu bireylerde ise  $\bar{X} = 0.78 \pm 0.01$  ve  $\bar{X} = 0.76 \pm 0.01$  dir. Buna göre erken ve ileri gelişim döneminde farklılık göstermeyen bu oran her iki gelişim döneminde de maloklüzyonlu bireylerde daha büyük değerlere sahiptir. Yani maloklüzyonlu bireylerde üstarka alveoler yüksekliği alt arka alveoler yükseliğe göre büyümüştür.

## T A R T I I Ş M A

Hypodiverjan bir kraniofasial yapı ile birlikte overbite miktarının artmış olduğu örtülü kapanış vakalarının tedavi - sinde ve tedavinin stabilitesinde kapanışın yükseltilmesi ve keşerler arasında normal overbite - overjet ilişkisinin sağlanması her zaman için dental arkadaki yer darlığının giderilmesi veya kötü konumdaki dişlerin düzelttilmesi problemlerinin önündे gelir. Bunun en önemli nedenlerinden biri de bu tür vakalarda lateral ve anterior mandibuler hareketlerin kısıtlı olması nedeni ile bozulmuş çiğneme fonksiyonudur (6,54).

Normal oklüzyonlu, normal bir overbite - overjet ilişkisine sahip olan ve yeterli çiğneme fonksiyonları olduğu kabul edilen bireylerde de hypodiverjan bir iskelet yapının olabileceği akla getirildiğinde bu bireylerde hypodiverjan bir kraniofasial yapı ile normal bir oklüzyonun birlikte bulunmasına neden olacak özelliklerin ne olduğu sorusu akla gelir.

Bu soruya cevap aramak amacı ile çalışmamızda hypodiverjan iskelet yapıya sahip ancak normal oklüzyonlu ve yine hypodiverjan iskelet yapıya sahip ve maloklüzyonlu iki grup oluşturulmuştur. Dik yönde benzer kraniofasial yapıya sahip oldukları halde bireylerin maloklüzyonlu ve normal oklüzyonlu olarak değerlendirilmesine sebep olan farklılıklarını saptamaya çalışır - ken bu farklılıkların gelişimin yoğun olduğu dönemde ve gelişimde büyük bir bölümünün tamamlanmış olduğu dönemlerde ne şekilde

olduğunu araştırmak için çalışmamızdaki iki ana araştırma guru bu gelişim dönemlerine göre tekrar iki alt grubu ayrılmıştır. Bu ayrimın fizyolojik gelişim hakkında en doğru bilgiyi veren iskelet olgunluk dönemlerine göre yapılmıştır (26) ve Björk'ün (11,12) kriterleri kullanılmıştır.

Günümüzde kullanılan sefalometrik analizlerin büyük bir çoğullığında ve rutinde dik yön yapıyı belirlemek için Jarabak oranı ve Go Gn/SN açısı kullanılmaktadır(52, 79, 58, 39, 70, 31, 68, 60, 61, 62, 36, 24, 13, 65, 59, 75, 7, 72). Çalışmamızda bu iki ölçümün her iki gelişim döneminde de hem onormal oklüzyon hemde maloklüzyonlu gruplar arasında istatistiksel olarak önemli bir fark göstermemesi (Tablo 4.2; 4.4) normal oklüzyon ve maloklüzyonlu gruplarımızın hypodiverjan yapıya sahip ve benzer olduğunu doğrulamaktadır.

Vine Tablo 4.3 ve 4.5'ten görüldüğü gibi normaloklüzyon gruplarında overbite ortalaması erken gelişim döneminde  $\bar{X} = 2.17 \pm 0.11$ , ileri gelişim döneminde  $\bar{X} = 2.15 \pm 0.16$  iken maloklüzyon grubumuzda erken gelişim döneminde min: 3.35 mak: 9.31 mm olmak üzere  $\bar{X} = 5.56 \pm 0.27$  ve ileri gelişim döneminde min: 3.2, mak: 11.02 olmak üzere ortalama  $6.01 \pm 0.31$  mm dir. Bu bulgumuz hypodiverjan kraniofasial yapıya sahip normal oklüzyonlu bireylerimizde overbite'in normal sınırlar içinde olduğunu göstermektedir (29, 73, 50, 44).

Go Gn/SN açısı ve Jarabak oranı erken ve ileri gelişim dönemleri arasında  $P < 0.01$  düzeyinde önemli farklılık gösterdiği belirten bulgularımız (Tablo 4.6) kraniofasial yapının ge

lişimin ileri dönemlerinde daha da hypodiverjan özellik kazandılığını göstermektedir.

Hypodiverjan iskelet yapıya sahip bireylerde gelişimin ileri dönemlerinde mandibulanın gösterdiği anterior rotasyon beklenen bir bulgudur. Normal oklüzyonlu bireylerde kraniofasial yapıyı incelemeyi amaçlayan bir çok çalışmada da (58, 39) mandibular düzlem açısının gelişimle küçüldüğü bildirilmiştir. Bize bulgularımızda benzer olarak bu durumun hem normal hemde maloklüzyonlu bireyler için geçerli olduğunu ancak overbite'in artmış olduğu maloklüzyonlu bireylerde mandibuler anterior rotasyonun hiç bir zaman daha belirgin olmadığını göstermektedir.

Öte yandan alt ön yüz yüksekliğine ait ANS-Me boyutu ve maksillanın sagital yöndeki boyutunu temsil eden ANS-PNS boyutunda  $P < 0.05$  düzeyinde olmak üzere bütün boyutsal ölçümümüzde erken ve ileri gelişim dönemlerine ait ortalamalar arası fark  $P < 0.01$  düzeyinde önemli bulunmuştur.

İleri gelişim dönemine ait ortalamalar beklenildiği gibi tüm boyutsal ölçümümüzde daha yüksek değer göstermektedir (42, 58, 75, 38, 54, 61, 33, 79, 46). Bu bulgularımız hem normal hem maloklüzyonlu grup için geçerlidir.

Ancak S-PNS ( $P < 0.01$ ) ve Ar-Pg ( $P < 0.05$ ) boyutlarının normal ve maloklüzyonlu bireylerde farklı olduğu saptanmıştır (70, 33). Ortalama değerler incelendiğinde S-PNS ve Ar-Pg boyutlarının ileri gelişim dönemine ait ortalama değerlerinin normal oklüzyon grubunda olduğu gibi maloklüzyon grubunda da yüksek olduğu ancak hem erken hem ileri gelişim döneminde maloklüzyonlu

bireylerde bu boyutlara ait ortalama değerlerin daha küçük olduğu görülmektedir. Buna göre hypodiverjan iskelet yapıya sahip maloklüzyonlu bireylerde mandibular uzunluk ve arka üst yüz yüksekliği hypodiverjan ancak normal oklüzyonlu bireylere göre daha kisadır.

Normal oklüzyon, Klas II div.1 ve Klas II div.2 anomalili bireylerde yapmış olduğu çalışmasında Kerr (33) mandibular uzunluğun Klas II div.2 anomalili bireylerde benzer olarak en küçük değeri gösterdiğini bulmuştur.

Sassouni (60)'de openbite gösteren vakalara göre deepbite gösteren bireylerde Ar-pG boyutunun kısa olduğunu bildirmiştir.

Trauten ve arkadaşları (70) Openbite ve deepbite'de morfolojik faktörler adlı yazılarında derin kapanış gösteren bireylerde Posterior vertikal maksiller yüksekliğinin kısa olduğuna dikkati çekmişlerdir.

Çalışmamızda normal oklüzyon ve maloklüzyon gruplarının benzer hypodiverjan bir kraniofasial yapıya sahip olmasına dikkat edildiğinden ön yüz ve arka yüz yükseklikleri arasında her iki gelişim döneminde de normal ve maloklüzyonlu gruplar arasında istatistiksel olarak önemli bir farklılık saptanamamış olması doğaldır. Bulgularımız aynı şekilde Üst ön yüz, alt ön yüz ve alt arka yüz yüksekliklerinin de normal oklüzyon ve maloklüzyonlu bireylerde ayrıcalık göstermediğini ifade

etmektedir. Buna bağlı olarak ön üst ve alt yüz yüksekliklerinin oranlarında da normal ve maloklüzyonlu gruplar arasında istatistiksel olarak önemli bir fark bulunamamıştır.

S-PNS boyutu maloklüzyonlu grupta önemli ölçüde küçük bulunduğu halde  $\frac{S-PNS}{PNS-Go}$  oranının normal ve maloklüzyonlu bireylere ait ortalamadegerlerinin istatistiksel olarak yine önemli bir fark göstermemesi bu oranın arka alt yüz yüksekliği ile dengelendiğine işaret etmektedir. Her ne kadar PNS-Go boyutuna ait ortalama değerler normal ve maloklüzyonlu bireyler arasında istatistiksel olarak önemli düzeyde bir fark göstermesse de bu boyutun erken gelişim dönemindeki maloklüzyonlu bireylerde min: 39.40 mm ve mak: 52.41 mm'lik ve yine ileri gelişim döneminde min: 38.89, mak: 59.58 mm'lik değerlerinin normal oklüzyonlu bireylerde erken gelişim dönemindeki min: 35.39 mm, ma: 50.18 mm'lik ve ileri gelişim dönemindeki min: 41.45 mm ve mak: 59.12 mm'lik değerlerden büyük olması da bunu doğrulamaktadır.

Bulgularımız gene kaideleri arasındaki açığın (PP/MP) erken ve ileri gelişim dönemlerine ait ortalama değerlerinin hem normal hem maloklüzyonlu bireylerde  $P < 0.01$  düzeyinde önemli bir farklılık gösterdiğini ve ileri gelişim dönemine ait ortalama değerlerin daha küçük olduğunu vurgulamaktadır. (Tablo 4.2 ve 4.4).

PP/SN açısının normal ve maloklüzyonlu bireylerde erken ve ileri gelişim dönemlerine ait ortalama değerleri arasında önemli bir fark mevcut olmaması yanı palatal düzlemin SN

düzlemine göre eğiminde gelişim dönemlerine bağlı bir değişikliğin saptanamaması ileri gelişim dönemlerinde hem normal hem maloklüzyonlu bireylerde mandibular anterion rotasyon nedeni ile PP/MP açısının küçüldüğünü ifade etmektedir. Her iki grupta birden ileri gelişim döneminde benzer şekilde küçük bulunan çene kaideleri arasındaki açı normal ve maloklüzyon grupları arasında  $P < 0.05$  düzeyinde önemli farklılık göstermektedir (Tablo 4.6) ve maloklüzyonlu bireylere ait ortalama değeri hem erken hem de ileri gelişim döneminde normal oklüzyonlu bireylerden daha küçüktür.

Bu bulgumuzun çene kaideleri arasındaki açının hypo - diverjan yüz yapısında azalmış olduğunu vurgulayan araştırıcıların (68, 74) bulgularına benzer olduğu söyleylenebilir. Ancak yine hypodiverjan bir yapıya sahip normal oklüzyon grubumuzda göre maloklüzyon grubumuzda çene kaideleri arasındaki açının daha da küçük olduğu saptanmıştır.

Aynı şekilde palatal planın kafa kaidesine göre eğimi ni gösteren PP/SN açısına ait ortalama değerlerin de maloklüzyonlu ve normal oklüzyonlu bireyler arasında istatistiksel olarak  $P < 0.05$  düzeyinde önemli fark gösterdiği ortalama değerlerin her iki gelişim döneminde de maloklüzyonlu bireylerde artmış olması palatal planın maloklüzyonlu bireylerde öne ve aşağı eğimini ifade etmektedir (Tablo 4.6).

İlk bakışta hypodiverjan kraniofasial yapıda palatal planın öne ve aşağıya eğimlendiğini vurgulayan araştırma (74, 70) sonuçlarına benzer olan bu bulgumuz hypodiverjan normal

oklüzyonlu normal grubla göre hypodiverjan maloklüzyonlu grupta PP/SN açısının daha da büyük olduğunu göstermektedir.

Fakat S-PNS boyutu ile ilgili bulgularımıza dayanarak PP/SN açısının maloklüzyonlu bireylerde daha da büyük bulunmasının nedeninin ANS noktasının aşağıda konumlanmasından çok PNS noktasının yukarıda konumlanmış olmasından kaynaklandığını söyleyebiliriz.

Mandibular boyutu veren Ar-Pg boyutunun her iki gelişim döneminde birden maloklüzyonlu bireylerde daha küçük bir ortalama ( $p < 0.05$ ) değer göstermesine paralel olarak SNB açısı da normal ve maloklüzyon grupları arasında önemli düzeyde farklılık göstermektedir ( $P < 0.01$ ). Her iki gelişim döneminde birden maloklüzyonlu bireylerde daha küçük bir ortalama değere sahip olan SNB açısı çalışmamızda SN boyutunun maloklüzyonlu ve normal oklüzyonlu bireyler arasında önemli bir ayrıcalık göstermediği de düşünülürse mandibulanın geride konumlandığına işaret etmektedir.

SNB açısına benzer olarak SN Pg açısı da normal ve maloklüzyonlu bireyler arasında  $P < 0.05$  düzeyinde farklılık göstermektedir. Maloklüzyonlu bireylerde her iki gelişim döneminde birden daha küçük bir ortalama değere sahiptir.

Bulgularımız maloklüzyon ve normal oklüzyon grupları arasında ANB açısında  $P < 0.05$  düzeyinde olmak üzere bir farklılık olduğunu göstermektedir. ANB açısına ait ortalama değerin maloklüzyonlu bireylerde daha büyük (23) bulunma nedeni SNA

ağısında maloklüzyon ve normal oklüzyon grupları arasında farklılık saptanamadığına göre sadece mandibulanın geride konumlanmış olmasıdır.

Buna göre çalışmamızda dik yönde benzer olarak hypodiverjan bir kraniofasial yapı gösteren normal ve maloklüzyonlu bireylerde kraniofasial yapının diğer bölgeleri arasında bir farklılık olup olmadığı incelendiğinde özetle (şekil 4.1) maloklüzyonlu bireylerde normal oklüzyonlu bireylere göre mandibulanın sagital yönde daha az gelişim gösterdiği ve geride konumlandığı S PNS boyutunun daha kısa olduğu ve dik yönde benzer konumdaki ANS yanısıra PNS nin maloklüzyonlu bireylerde daha yukarıda yer aldığı söylenebilir.

Her ikiside hypodiverjan bir kraniofasial yapıya sahip normal oklüzyonlu ve artmış overbite ile birlikteki maloklüzyonlu bireylerden meydana gelmiş araştırma gruplarımıza iskelet yapı dik yönde benzer olduğu halde normal bir oklüzyonun normal bir overbite-overjet ilişkisinin hangi mekanizma ile oluşmuş olduğunu incelemek için dentoalveolar ölçümlerimiz değerlendirildiğinde interinsizal açının erken ve ileri gelişim döneminde maloklüzyonlu ve normal oklüzyonlu gruplar arasında önemli bir ayrıcalık göstermediği saptanmıştır.

Gerek artmış overbite'a sahip vakalardaki tecrübeler gerekse konu ile ilgili yayınlar artmış interinsizal açının derin overbite ile doğrudan ilişkili olduğunu belirtmektedir (30, 25, 60, 67, 36, 17). Çalışmamızda normal oklüzyonlu bireylerde de maloklüzyonlu bireylerdekine benzer interinsizal açı

saptanmış olması bir yandan artmış interinsizal açının hypodiverjan kroniofasial yapı ile de doğrudan ilişkili olduğunu, diğer yandan artan interinsizal açıya rağmen overbite'ın oluşmayabileceğini düşündürmektedir.

Çığneme kaslarının kuvvetleri ile oluşan ıslırma kuvvetinin etkisi altında muskuler yapı ve dentoalveoler yapıya da bağlı olarak etkilenebilen oklüzal plan (48) derin kapanış ile açık kapanış vakalarında farklı eğimler göstermektedir (70). Overbite'in arttiği durumlarda SN düzlemine göre eğiminin horizontal'e yakın olduğu da belirtilmektedir (60).

Fonksiyonel oklüzal planın (FOP) çalışmamızda hem SN hem mandibular plan (MP), hemde platal plan (PP) ile yaptığı açılar araştırıldığında normal oklüzyon ve maloklüzyon grupları arasında önemli bir farklılık saptanamamıştır. Tablo 4.6 da görüldüğü gibi FOP nin eğimi normal ve maloklüzyonlu bireylerde bir ayrıcalık göstermeden her iki grupta birden ileri gelişim döneminde daha da küçük bir ortalama değere sahiptir. Tablo 4.6 da görüldüğü gibi FOP nin eğimi normal ve maloklüzyonlu bireylerde bir ayrıcalık göstermeden her iki grupta birden ileri gelişim döneminde daha da küçük bir ortalama değere sahiptir (Tablo 4.3 ve 4.5). Buna göre artmış overbite'in söz konusu olduğu maloklüzyonlu bireylerde normal oklüzyonlu bireylere göre oklüzal plan eğiminin bir ayrıcalık göstermediği ancak hypodiverjan yapıya sahip her iki grupta birden bu düzlemin SN ve palatal plan 'a göre ileri gelişim döneminde daha da horizontal e yakın bir eğime sahip olduğu söylenebilir.

Bu bulgumuz da interinsizal açı gibi hypodiverjan iskelet yapıda derin veya normal overbite'in oluşma nedenini açıklamamaktadır.

Çalışmamızda normal ve maloklüzyonlu bireylerde fonksiyonel oklüzal planın farklılık göstermediği ancak FOP ye göre alt ve üst keser diş eğimlerinin normal ve maloklüzyonlu gruplar arasında istatistiksel olarak önemli derecede değişik olduğu saptanmıştır.

Alt orta keser dişlerin fonksiyonel oklüzal plan ile ( $\bar{1}/FOP$ ) daha büyük bir açı yaptığı ve bu açının normal ve maloklüzyonlu bireylerdeki değerlerinin  $P < 0.01$  düzeyinde önemli farklılık gösterdiği Tablo(4.3,4.5,4.6) nin incelenmesinden görülmektedir.

Üst keser dişin FOP ye göre eğimi ( $\bar{1}/FOP$ ) incelendiğinde (Tablo 4.10, Grafik 4.4) yine üst keser dişin FOP ye göre konumunun maloklüzyonlu bireylerde overbite'in normal sınırlar içinde olduğu normal oklüzyonlu bireylere göre daha dik olduğu anlaşılmaktadır. Maloklüzyonlu bireylerde üst keser dişin eğimi ileri gelişim döneminde daha da dik olup bu erken gelişim dönemindeki eğimi ile  $P < 0.05$  seviyede önemli farklılık gösterecek derecededir.

Alt ve üst keserlerin kafa kaidesine, gene kaidelerine NA ve NB doğrularına göre eğimleri incelendiğinde yine normal ve maloklüzyonlu bireyler arasında istatistiksel olarak önemli farklılık olduğu görülmektedir (Tablo 4.6). Bulgularımız alt keser dişin mandibular plana göre konumunuñ maloklüzyonlu

bireylerde hem erken hem ileri gelişim dönemlerinde normal oklüzyonlu bireylere göre daha dik olduğunu göstermektedir. Yine alt keser dişin NB ve SN düzlemleri ile yapmış olduğu açılar da maloklüzyonlu bireylerde alt keser dişin daha dik konumda olduğunu doğrulamaktadır (28, 64).

Üst keser dişin SN ve NA düzlemleri ileyaptığı açılar da hem erken hem de ileri gelişim döneminde derin overbite li bireylerde Üst keser dişin daha dik konumda olduğunu göstermektedir (28).

Tablo 4.7, Grafik 4.1 ve Tablo 4.9 ve Grafik 4.3'ün incelenmesindende görüldüğü gibi maloklüzyonlu bireylerde Üst keser dişler ileri gelişim döneminde daha dik bir konum almakta ve erken gelişim döneminde maloklüzyonlu ve normal oklüzyonlu bireyler arasında saptanan  $P < 0.05$  düzeyindeki ayrıcalık ileri gelişim döneminde  $P < 0.01$  düzeyine ulaşmaktadır.

Bu bulgu Üst keser dişin çene içindeki konumu (1/PP) için de geçerli olup (Tablo 4.8, Grafik 4.2) maloklüzyonlu bireylerde 1/PP açısı her iki gelişim döneminde birden normal oklüzyonlu bireylere göre daha küçük olup maloklüzyonlu bireylerde ileri gelişim döneminde Üst keser dişin palatal plana göre eğimi daha da dikleşmektedir.

Alt ve Üst keser dişlerin konumlarını boyutsal olarak inceleyen 1-PNS D ve 1-me D ölçümülerine bakıldığından artmış overbite gösteren bireylerde belirgin şekilde dik olduğunu bulduğumuz alt keser dişlerin dental ark içinde normal oklüz-

yonlu bireylerinkine göre daha geride konumlanmış olduklarıını söyleyemeyiz çünkü bulgularımız hem normal hem maloklüz-yonlu bireylerde ileri gelişim döneminde alt keser dişin dental ark içinde daha geride konumlandığını ancak bu durumun normal oklüzyon ve maloklüzyon grupları arasında bir farklılık göstermediğini belirtmektedir (Tablo 4.6).

Üst keser dişin dental ark içindeki konumu (1-PNS D) incelendiğinde (Tablo 4.11, Grafik 4.5) erken gelişim dönemindeki normal oklüzyon ve maloklüzyonlu bireylende 1-PNS D ölçümü bir ayrıcalık göstermemektedir. Overbite'in artmış olduğu maloklüzyonlu bireylerde bu ölçümün ileri gelişim dönemi-ne ait ortalama değerinin erken gelişim dönemine ait ortalama değerden önemli ölçüde ( $P<0.05$ ) küçük bulunması maloklüz-yonlu bireylerde ileri gelişim döneminde üst keser dişin dental ark içinde daha da geride konumlanmış olduğunu ifade etmektedir. Gelişimin ileri dönemlerinde  $P<0.05$  düzeyinde önemli fark gösterecek şekilde maloklüzyonlu bireylerde üst keser dişin geride konumlanmış olduğu saptanmıştır.

Bu bulgularımız sonucunda maloklüzyonlu bireylerde alt ve üst keselerin açısal olarak dik bir şekilde konumlanmış oldukları, üst kesici dişlerin bu açısal konuma bağlı olarak boyutsal olarak maksiller dental ark içinde daha ret rüziv bir konumda oldukları ancak alt keser dişlerin mandibular dental ark içindeki anteroposterior konumlarının normal ve overbite'in artmış olduğu bireyler arasında farklı olmadığı söylenebilir.

Alt ve üst molar dişlerin dental ark içindeki sagital yön konumları incelendiğinde  $\underline{6}$ -PNS D ölçümü için  $P<0.05$  düzeyeinde  $\overline{6}$ -Me D ölçümü için  $P<0.01$  düzeyinde olmak üzere bu ölçümlerimizin normal ve maloklüzyonlu bireyler arasında farklılık gösterdiği saptanmıştır.

Bu bulgularımız maloklüzyonlu bireylerde alt ve üst molar dişlerin normal oklüzyonlu bireylere göre dental ark içinde daha mezial'de konumlanmış olduğunu göstermektedir.

Dolayısıyla özellikle üst kesici dişlerin konumları da dikkate alınarak overbite'in artmış olduğu maloklüzyonlu bireylerde 6 nolu dişler önündeki mevcut dental ark boyalarının maksillada daha fazla olmak üzere normal oklüzyonlu bireylere göre kısaltılmış olduğunu söyleyebilir.

Maloklüzyon grubumuzda artmış overbite ile birlikte doğal olarak çeşitli derecelerde yer ihtiyacı ve çaprazıklığı mevcut olması bu bulgumuzun nedeni olarak düşünülebilir. Ancak erken süt dişi çekimleri ve molar mezialisasyonları çaprazıklıktan sıkılıkla sorumlu tutulan bir neden olsa bile maloklüzyonlu bireylerimizin çoğunuğu için söz konusu olamayacağı akla getirildiğinde molar dişlerin daha mezialde konumlanması overbite miktarının artmasına neden olan faktörlerden biri olabileceği düşünülebilir.

Maloklüzyon ve normal oklüzyonlu gruplarımızda maksilla ve mandebulada ön ve arka alveoler yükseklikler incelenliğinde üst ve alt ön alveoler yüksekliklerin iki grup arasında her iki gelişim döneminde de istatistiksel olarak önemli

bir farklılık göstermediği saptanmıştır. Bulgularımız alt ön alveoler yüksekliğinin ( $\bar{1}$ -MP) ileri gelişim döneminde hem normal hem mal oklüzyonlu bireylerde  $P<0.01$  düzeyinde önemli olmak üzere (Tablo 4.6) erken gelişim dönemine göre büyük olduğunu, üst ön alveoler yüksekliğinin ( $\underline{1}$ -PP) ne normal oklüzyonlu ne maloklüzyonlu bireylerde erken ve ileri gelişim dönemleri arasında bir farklılık göstermediğini ifade etmektedir.

Buna göre overbite'in artmış olduğu maloklüzyon ve normal oklüzyonlu bireyler arasında alt ve üst ön alveoler yüksekliklerinin farklı olmadığını söyleyebiliriz.

Konu ili ilgili yayınlar gözden geçirildiğinde (32, 60, 79, 49, 22, 16, 21, 61) sıkılıkla overbite'in artmış olduğu vakalarda alt ve üst ön alveoler yüksekliklerin artmış olduğundan söz edildiği görülmektedir. Ülgen (74) ise normal oklüzyonlu hypodiverjan araştırma grubunda yine normal oklüzyonlu ve dik yön açısı normal sınırlar içinde olan grubuna göre bu boyutların daha da kısa olduğunu saptamış ve bu bulgusunu derin bir overbite'in oluşmamış olmasının nedeni olarak ileri sürmüştür.

Ülgen (74)'in hypodiverjan normal oklüzyonlu vakalarında kısa olarak saptamış olduğu alt ve üst ön dentoalveoler yükseklikleri çalışmamızda iskelet yapıları hypodiverjan olan iki grubumuz arasında fark göstermemesi bu bulguların hypodiverjan iskelet yapıda kısa olabileceğini ancak yine hypodiverjan derin kapanışlı grubumuzda da normal oklüzyonlu grubumuzla benzer olduğuna göre derin veya normal overbite ilişkisini

açıklayabilecek bir faktör olarak değerlendirilmemesi gerekliliğini düşündürmektedir.

Üst arka alveoler yüksekliğe ilişkin 6-PP ölçümümüz incelemduğimde bu boyutun da normal ve maloklüzyonlu bireyler arasında istatistiksel olarak önemli bir ayrıcalık göstermediği her iki grupta birden doğal olarak üst arka alveoler yüksekliğin ileri gelişim dönemine ait ortalama değerinin önemli ölçüde büyük olduğu ( $P < 0.01$ , Tablo 4.6) saptanmıştır. Üst ön ve arka alveolar yüksekliklerin birbirine oranları incelemduğimde yine normal ve maloklüzyonlu gruplar arasında önemli bir fark mevcut olmadığı görülmektedir ve hypodiverjan iskelet yapıya sahip her iki grubumuzda birden  $\frac{6-PP}{1-PP}$  ölçümünün erken ve ileri gelişim dönemleri arasında  $P < 0.01$  düzeyinde önemli farklılık göstermesi ve ileri gelişim dönemine ait ortalama değerlerin daha büyük bulunması üst ön alveoler yüksekliğe göre üst arka alveoler yüksekliğin hem normal oklüzyonlu hem maloklüzyonlu bireylerde daha fazla arttığını göstermektedir.

Isaacson ve arkadaşları (32) dik yön açıları düşük, yüksek ve normal değerler arasında olan bireylerden oluşmuş gruplar üzerinde yürüttükleri araştırmalarında üst molar alveoler yüksekliğinin dik yönü belirleyen oldukça önemli bir parametre olduğunu dik yön açısının düşük olduğunu vakalarda alt ve üst posterior alveoler yüksekliklerin düşük bulunup bunun makessimada daha da belirgin olduğunu ileri sürmüştür. Bunun yanı sıra pek çok araştırmacı tarafından da overbite'ın artmış olduğu vakalarda alt ve üst posterior alveoler yüksekliklerin

düşük olduğu (32, 60, 79, 61, 45, 49, 64, 71, 50) ileri sürülmüştür.

Çalışmamızda her iki grubumuzun iskelet yapısı benzer olduğundan üst arka alveoler yüksekliklerinin de benzer olarak bulunmuş olduğu söylenebilir. Ancak yine bu boyutun overbite derecesini açıklayıabilecek bir faktör olmadığı düşündürmektedir.

Araştırmamızda alt arka alveoler yüksekliğine ilişkin  $\bar{6}$ -MP ölçümünün ise normal ve maloklüzyonlu bireyler arasında  $P < 0.01$  düzeyinde önemli farklılık gösterdiği saptanmıştır. Bu boyutun overbite'in artmış olduğu maloklüzyonlu bireylerde normal oklüzyonlu bireylere göre önemli ölçüde küçük bulunması  $\frac{\bar{6}-MP}{\bar{1}-NP}$  oranının da normal ve maloklüzyonlu bireyler arasında  $P < 0.01$  düzeyine önemli olmak üzere farklı bulunmasına neden olmuştur.

Buna göre overbitenin artmış olduğu mal oklüzyonlu bireylerde normal oklüzyonlu bireylere göre alt arka alveoler yüksekliğinin düşük olduğu söylenebilir ve her iki grubumuz bir den hypodiverjan iskelet yapıya sahip olduğuna göre alt arka alveoler yüksekliğinin düşük bulunduğu bulunmuş maloklüzyon grubu muzda overbitenin miktarını belirleyen faktörlerden biri olabileceğine ileri sürülebilir.

Üst ve alt alveoler yüksekliğin birbirine göre ilişkini veren  $\frac{6-PP}{6-MP}$  oranının da normal ve maloklüzyonlu bireyler arasında  $P < 0.01$  düzeyinde önemli ayrıcalık göster-

mesi ve overbite'in artmış olduğu maloklüzyon grubumuzdaki ortalamada değerin normal oklüzyon grubumuza göre daha büyük bulunması da alt arka posterior alveoler yüksekliğinin ( $\overline{G}$ -MP) overbite miktarını belirleyen faktörlerden biri olduğunu vurgulamaktadır.

Çalışmamızda üst ve alt alveoler yüksekliklerin birbirini ile ilişkisini veren  $\frac{1-PP}{1-MP}$  oranının ise normal ve maloklüzyonlu bireyler arasında önemli bir ayrıcalık göstermediği bulunmuştur.

Bir diğer değişle artmış overbite gösteren bireylerle, benzer şekilde hyodiverjan iskelet yapıya sahip oldukları halde oklüzyonun normal olduğu overbite ve overjetin normal sınırlar içinde bulunduğu bireylerde alt arka alveoler bölgenin daha yüksek olduğu söylenebilir.

## S O N U Ç L A R

Çalışmamızın sonucunda hypodiverjan kroniofasial yapıya sahip oldukları halde derin overbite ile birlikte normal ve mal oklüzyonlu bireylerden oluşan grubalarımızın farklı özellikleri şu şekilde sıralanabilir:

1. Hypodiverjan iskelet yapıya sahip maloklüzyonlu bireylerde mandibular uzunluk ve arka üst yüz yüksekliği hypodiverjan iskelet yapıya sahip ancak normal oklüzyonlu bireylere göre daha kısıdadır.

2. Maloklüzyonlu bireylerde palatal planın kafa kadesine ve mandibular plana göre eğimi maksillanın öne ve aşağı rotasyonunu ifade etse de bu durum maksillanın anterior bölgesinin aşağıda yer almاسından değil posterior bölgesinin yukarıda yer almاسından kaynaklanmaktadır.

3. Mandibula maloklüzyonlu bireylerde sagital yönde daha az gelişim göstermekte ve daha geride konumlanmaktadır.

4. Okluzal planın palatal plana, mandibular plana ve kafa kadesine göre eğimi normal ve maloklüzyonlu bireylerde değişmeyip horizontale yakındır.

5. Alt ve üst keserler maloklüzyonlu bireylerde açısal olarak daha dik konumdadır. Ancak İnterinsizal açı normal ve maloklüzyonlu bireyler arasında farklılık göstermemektedir.

6. Alt keserlerin dental ark içindeki sagital yön konumları normal ve maloklüzyonlu bireylerde benzer iken, maloklüzyonlu bireylerde üst keser dişlerin daha geride konumlanmış oldukları saptanmıştır.

7. Alt ve üst molar dişler dental arkalar içinde normal oklüzyonlu bireylere göre daha mezialde konumlanmaktadır.

8. Alt ve üst çenede ön alveoler yükseklikler ve üst çenede posterior alveoler yükseklik normal ve maloklüzyonlu bireylerde farklı değildir.

9. Maloklüzyonlu bireylerde alt ve arka alveoler yüksekliğinin oldukça düşük olduğu ve buna bağlı olarak alt çenede ön ve arka alveoler yükseklikler arasındaki oranın da normal oklüzyonlu bireylerden farklı olduğu saptanmıştır.

## Ö Z E T

Hypodiverjan normal oklüzyonlu bireylerle hypodiverjan maloklüzyonlu bireyler arasındaki kraniofasial ve dentoalveoler değişiklikleri incelemeyi amaçladığımız araştırmamızın:

İlk etabında hypodiverjan bir kraniofasial yapıya sahip fakat normal overbite-overjete ilişkisi gösteren 60 adet normal oklüzyonlu ve bu kez hypodiverjan kraniofacial yapıya sahip ancak artmış overbite ili birlikte 60 adet maloklüzyonlu olmak üzere 120 adet bireyin lateral sefalometrik ve elbilek grafları kullanılmıştır ve cinsiyet ayrimı yapılmamıştır.

İkinci etapta ise bu bireyler iskelet olgunluk dönerine göre erken gelişim ve ileri gelişim dönemleri olmak üzere iki alt gruba ayrılarak çalışmamız toplam dört grup üzerinde yürütülmüştür.

Daha sonra yirmi dört'ü iskeletsel yirmi altısı dentoalveoler olmak üzere Elli sefalometrik ölçüm istatistik yöntemlerle değerlendirilmiş ve araştırma grupları bir-birleri ile karşılaştırılmıştır.

## S U M M A R Y

The aim of this study was to evaluate craniofacial and dentoalveolar differences between individuals having normal occlusion and hypodivergent skeletal pattern and individuals with malocclusion and also hypodivergent skeletal pattern.

In the first stage of this study, 120 lateral cephalometric films and 120 hand-wrist films of 60 individuals with normal overbite and overjet and hypodivergent craniofacial pattern as well as 60 individuals with increased overbite and hypodivergent craniofacial pattern were used regardless of sex.

In the second stage of this study, individuals were also divided into two subgroups according to their skeletal maturation as early pubertal and late pubertal stage. Thus, our study was carried out on four groups.

24 skeletal and 26 dentoalveolar; Total 50 cephalometric measurements were evaluated statistically and the research groups were compared with each others.

## K A Y N A K L A R

1. Arat,M., Özdi̇ler,E., İşeri,H. : Maloklüzyonlu Bireylerde İskelet Yapının İncelenmesi (1.). A.Ü.Diş Hek.Fakültesi Dergisi 2: 55-63, 1985
2. Arat, M., Özdi̇ler,E., İşeri, H. : Maloklüzyonlu Bireylerde İskelet Yapının İncelenmesi (2.). A.Ü.Diş Hek.Fakültesi Dergisi. 2: 87-89, 1985.
3. Baber, W., Meredith, H. : Childhood Change Indeepth and Height of the Upper Face with Special Referance to Down's A Point. Am. J. Orthod. 51: 913-926, 1965.
4. Baragar, F.A., Osborn, J.W. : Effiancy as a Predictor of Human Jaw Design in Sagittal Plane. J. Biomechanics. 20: 447-457, 1987.
5. Bell, W.H., Jacops, J.D., Legan, H.L. : Treatment of Class II Deep Bite by Orthodontic and Surgical Means. Am. J. Orthod. 85: 1-20, 1984.
6. Bergesen, E.O. : A Longitudinal Study of Anterior Vertical Overbite from Eight to Twenty Years of Age. The Angle Orthod. 58: 237-256, 1988,
7. Bishara, S.E., Augspurger,E.F. : The Role of Mandibular Plane Inclination in Orthodontic Diagnosis.The Angle Orthod. 45: 273-281,1975

8. Björk, A. : Statural Growth of the Upper Face Studyd by the Implant Method. Acta. Odontol. Scand. 24: 109- 127, 1966
9. Björk, A. : Growth of the Maxilla in Three Dimensional as Revealed Radiographically by the Implant Method. British. Journal of Orthod. 4: 53-64, 1975
10. Björk, A., Skieller, W. : Facial Development and Tooth Eruption (An Implant Study at the Age of Puberty). Am. J. Orthod. 62: 339-383, 1972.
11. Björk, A. : Zeitliche Abstimmung Interzeptiver Kiefer Orthopädischer Massnahmen auf der Graundlage der Reifestufen Inf. Orthod. u. Kiefer Orthop. 4: 281-293, 1977.
12. Björk, A., Helm, S. : Prediction of the Age of Maximum Pubertal Growth in Body Height. Angle orthod. 37: 134-143, 1967
13. Casco, J.S., Shepherd, W.B. : Dental and Skeletal Variation with in the Range of Normal. The Angle Orthod. 54 : 5-17, 1984.
14. Devincenzo, J.P., Win, M.W. : Orthopedic and Orthodontic Effects Resulting from the Use of a Functional Appliance with Different Amaounts of Protrusive Activation. Am. J. Orthod and Dentofac. Orthop. 96: 181-190, 1989.
15. Drael, R., Isaacson, R.J. : Some Relationship Between the Glenoid Fossa Position and Various Skeletal Discripancies. Am. J. Orthod. 61: 64-74, 1972.

16. Eberhart, B.B., Kaftinec, M.M., Baker, J.M. : The Relation<sup>1</sup> ship Between Bite Depth and Incisor Anguler Change. The Angle Orthod. 60: 55-58, 1990.
17. Ellis, E., McNamara, J.A. : Cephalometric Evaluation of Incisor Position. The Angle Orthod. 56: 324-344, 1986.
18. Engel, G., Confoth, G., Dumerell, J.M. and at all : Treatment of Deep Bite Case. Am. J. Orthod. 77: 1-13, 1980.
19. Enlow, D.H., Karuda, T., Lewis, A.B. : Intrinsic Craniofacial Compensation. The Angle Orthod. 41: 271-285, 1977.
20. Enlow, D.H., Karuda, T., Lewis, A.B. : The Morphological and Morphogenetic Basis for Craniofacial Form and Pattern. The Angle Orthod. 41: 161-188, 1971.
21. Enlow, D.H., Moyers, R.E., Hunter, S., Mc Namara, J. : A Procedure for the Analysis of Intrinsic Facial Form and Growth. Am. J. Orthod. 56: 6-23, 1969.
22. Fleming, H.B. O An Investigation of the Vertical Overbite During the Eruption of the Permanent Dentition. The Angle Orthod. 31: 53-62, 1961.
23. Gazileli, Ü., İşcan, H.N. : Değişik Cins ve iskeletsel Sınıflamlarda Holdaway Yumuşak Doku Ölçümlerinin Değişimi. A.Ü.Dış Hek.Fakültesi Dergisi. 7:95-102 1980

24. Gazilerli, Ü. : Değişik Cins ve Yaş Gruplarında Göğüs Ağısının Dağılımı. A.Ü. Diş Hek. Fakültesi dergisi 7: 95-102, 1980.
25. Gianelly, A.A., Petras, J.L., Boffa, J. : Condylar Position and Class II Deep Bite Non Overjet Malocclusions. Am. J. Orthod and Dentofacial orthop. 96: 428-432 1989.
26. Graber, T.M. : Current Principles and Techniques. 2 nd. ed. The C.W. Mosby Company, P.3-101, 1985.
27. Gürbüz, F., Başpinar, E. : Özel Görüşme. A.Ü. Ziraat Fakültesi Biometri ve Genetik Anabilim Dalı, 1991.
28. Hasund, A. : The Position of the Incisor in Relation to NA and NB in Different Facial Types. Am. J. Orthod. 57: 1-14, 1970.
29. Hitchcock, H.P. : A Cephalometric Supplement. Am. J. Orthod. 57: 47-54, 1970.
30. Houston, W.J.B. : Incisal Edge - Centroid Relationships and Overbite. European J. Orthod. 11: 139-143, 1989.
31. Ingersley, C.H., Solow, B. : Sex Difference in Craniofacial Morphology. Acta Odont.Scant. 33: 85-94, 1975
32. Isaacson, J.R., Isaacson, R.J., Speidel, M., Worms, F. : Extrem Variation in Vertical Facial Growth and Associated Variation in Skeletal and Dental Relations. Am. J. Orthod. 41: 219-229, 1971.

33. Kerr, W.J.S., Hirst, D. : Craniofacial Characteristics of Subjects with Normal and Postnormal Occlusions - A Longitudinal Study. Am. J. Orthod. 92: 207-212, 1987
34. Kerr, W.J.S. : Nasopharynx Face Height and Overbite. The Angle orthod. 55: 33-36, 1985.
35. Koski, K. : Variability of the Craniofacial Skeleton. Am. J. Orthod. 64: 188-196, 1973.
36. Knockhak, P.A., Thomas, N.R., Canigan, D.T., Devon, R. : Vertical Dimension and Freeway Space . The Angle Orthod. 57: 145-154, 1987.
37. Leighton, B.C., Hunter, W.S. : Relationship Between Lower Arch Spacing/ Crowding and Facial Height and Depth. Am. J. Orthod. 82: 418- 425, 1982.
38. Lewis, A.B., Roche, A.F. : Late Growth Changes in the craniofacial Skeleton. The Angle Orthod. 58: 127-135, 1988
39. Love, R.J., Murray, J.M., Mamandras, A.H. : Facial growth in Males 16-20 Years of Age. Am. J. Orthod and Dentofacial orthop. 97: 200-206, 1990.
40. Menezes, D.M. : Changes in the Dentofacial Complex as a Result o Bite Plane Therapy. Am. J. Orthod. 67:6 1975
41. Mew, J.R.C. : Factors Influencing Mandibular Growth. The Angle Orthod. 56: 31-47, 1986.

42. Mitani, H. : Occlusal and Craniofacial Growth Changes, During Puberty. Am. J. Orthod. 77: 76-84, 1977.
43. Moore, R.N., Igel, K.A., Boice, P.A. : Vertical and Horizontal Components of Functional Appliance Therapy. Am. J. Orthod and Dentofacial Orthop. 96: 433-443, 1989.
44. Moss, M.L. : Vertical Growth of the Human Face. Am. J. Orthod. 50: 5, 1964.
45. Moss, M.L., Sajentiin, L. : Differences Between the Functional Matrices in Anterior Openbite and in Depth Overbite. Am. J. Orthod. 60: 264-280, 1971.
46. Nanda, R.S. : Growth Changes Skeletal Facial Profile and Their Significance in Orthodontic Diagnosis. Am. J. Orthod. 59: 501-513, 1971.
47. Nemeth, R.B., Isaacson, R.J. : Vertical Anterior Relapse. Am. J. Orthod. 65: 6, 1974.
48. Osborn, J.W. : Relationship Between the Mandibular Condyle and the Oclusal Plane During Hominid Evaluation some of it's Effects of Jaw Mechanics. Am. J. of Physical Anthropology. 73: 193-207, 1987.
49. Parakas, P., Margolis, H.I. : Dento Craniofacial Relations in Varying Degree of Overbite. Am. J. Orthod. 38: 657-673, 1952.

50. Pearson, L.E. : Vertical Control in Fully Banded Orthodontic Treatment . The Angle Orthod. 56: 205-224, 1986.
51. Perera, P.S.G. : Rotational Growth and Incisor Compensation. The Angle Orthod. 57: 39-49, 1987.
52. Peterson, M., Rough, J.D., Mc Lever, J.E. : Mandibular Rest Position in Subjects with High and Low Mandibular Plane Analyses. Am.J. Orthod. 69: 318-320, 1983
53. Poulton, D.R. : Correction Extreme Deep Overbite with Orthodontics and Orthognathic Surgery. Am. J. Orthod. and Dentofacial Orthop. 96: 275-280, 1989.
- 54, Richardson, A. : Skeletal Factors in Anterior Openbite and Deep Overbite. Am. J. Orthod. 56: 2, 1969.
55. Ricketts, R.M. : The Influence of Orthodontic Treatment on Facial Growth and Development. The Angle Orthod. 30: 103-133, 1960.
56. Rutter, R.R., Witt,E. : Correction of Class II Division 2 Malocclusions Trought the Use of the Bionator Appliance. Am. J. Orthodont and Detofacial orthop. 97: 106- 112, 1990.
57. Salzman, J. : Pratice of Orthodontics vol I, Ch 9,P: 191-227, J.B. Lippincot Comphany, Phyledelphia and Montreal, 1966.
58. Salzman, J. : Pratice of Orthodontics vol I, Ch 10, P:

- 229-250, J.B. Lippincot Company, Philadelphia and  
Montreal 1966.
59. Sarhan, D.A. : A New Cephalometric Parameter to aid in  
Dental Base Relationship Analysis. The Angle Orthod.  
60: 59-63, 1990
60. Sassouni, V., Nanda, S.K. : Analysis of Dentofacial Vertical Proportions. Am. J. Orthod. 50: 801-822, 1964.
61. Sassouni V. : A Classification of Skeletal Facial Types. Am. J. Orthod. 55: 109-123, 1969.
62. Schudy, F.F. : The Association of Anatomical Entities as Applied to Clinical Orthodontics. The Angle Orthod.  
36: 190-203, 1964
63. Schudy, F.F. : The Relation of the Mandible Resulting from Growth; its Implications in Orthodontic Treatment. The Angle Orthod. 35: 36-50, 1965.
64. Schudy, F.F. : The Cant of the Occlusal Plane and Axial Inclinations of Teeth. The Angle Orthod. 33: 69-82, 1963.
65. Schudy, F.F. : Vertical Growth Versus Anteroosterior Growth as Related to Function and Treatment. The Angle Orthod. 34: 75-93, 1964.
66. Schudy, F.F. : The Control of Vertical Overbite in Clinical Orthodontics. The Angle Orthod. 38: 19-38, 1968.

67. Solow, B. : The Dento alveolar Compensatory Mechanism; Backgraund and Clinical Implications. British Journal of Orthodont. 7: 145-161, 1980.
68. Srivat,P.P., Jarabak, J.S. : Malocclusion and Facial Morphology is there Relationship; En Epidemiolojik Study. The Angle Orthod. 55: 127-138, 1985.
69. Steatman, S.R. : Overbite and Overjets. The Angle Orthod. 44: 156-161, 1974.
70. Trouten, J.C., Enlow, D.H., Robin, M., Phelps, A.E., Sweldow, D. : Morphologic Factors in Openbite and Deep Bite . The Angle Orthod. 53: 193-21, 1989.
71. Ülgen, M. : Overbite İle Dişsel ve İskelletal Faktörler Arasındaki İlişkiler (Korelasyonlar). A.Ü.Diş Hek. Fakültesi Dergisi. 11: 1-23, 1989.
72. Ülgen, M., Bekbölet, N. : Ortodontik Tedavi Sonucunda Okluzal Düzlem Eğiminde Oluşan Değişiklikler. A.Ü. Diş hek. Fakültesi Dergisi. 10: 69-79, 1983.
73. Ülgen, M., Altuğ, Z. : Artmış Overbiteli Olgulardaki Edge wise Teknik ve tedaviye Bağlı Değişiklikler ile Spontan Değişiklikler Arasındaki Farkların Araştırılması. A.Ü.Diş Hek.Fakültese Dergisi. 10: 55-64, 1983.

74. Ülgen, M. : Yüzün Rik Yön Boyutlarının Azalmış (hipodiverjan) veya Artmış (hiperdiverjan) Olmasına rağmen Ortodontik Anomalilerin Ortaya Çıkmadığı Vakalarda Yüz İskelet Morfolojisi. A.Ü.Dış Hek.Fakültesi Dergisi. 10: 1-102, 1983.
75. Valinoti, J?R. : Retrusion of the Mandibular Dentition. The Angle Orthod. 56: 269-293, 1986.
76. Walker, G.F. : A New Approach to the Analysis of Craniofacial Morphology and Growth. Am.J. Orthod. 61: 221-230 1972.
77. Watnick, S.S. : In Heritance of Craniofacial Morphology. The Angle Orthod. 42: 339-351, 1972.
78. Vig, P.S., Cohen, A.M. : The Size of the Tongue and Intermaxillary Space. The Angle Orthod. 44: 15-24. 1978.
79. Wylie, W.L. : The Relationship Between Ramus Height, Dental Height and Overbite. Am. J. Orthod. and Oral Surgery. 32: 57-67, 1946.